

## บทที่ 4

### ผลการวิเคราะห์ข้อมูล

#### 4.1 ผลการเตรียมไคโตซานจากเปลือกกุ้ง

##### 4.1.1 ผลการสกัดไคโตซาน

เปลือกกุ้งอบแห้งปริมาณ 1,022.15 กรัม สามารถสกัดไคตินได้ 557.62 กรัม ปริมาณร้อยละของไคตินเทียบกับเปลือกกุ้งอบแห้งเท่ากับ 54.55 เมื่อนำไคตินปริมาณ 500.00 กรัม ผ่านกระบวนการกำจัดหมู่เอซีทิลออกได้ไคโตซานปริมาณ 361.11 กรัม โดยปริมาณร้อยละไคโตซานเทียบกับไคติน เท่ากับ 72.22

##### 4.1.2 สมบัติของไคโตซาน

สมบัติของไคโตซานที่เตรียมได้จากงานวิจัยนี้ ได้แก่ มวลโมเลกุล ความหนืด ระดับการกำจัดหมู่เอซีทิล และค่าการดูดซับไอโอดีน ได้ผลคือ มวลโมเลกุลเฉลี่ยมีค่าเท่ากับ  $1.8 \times 10^5$  คอลตัน ความหนืดมีค่าเท่ากับ 54.6 เซนติพอยส์ ระดับการกำจัดหมู่เอซีทิล มีค่าเท่ากับร้อยละ  $90.13 \pm 4.77$  และค่าการดูดซับไอโอดีนมีค่าเท่ากับ 690 มิลลิกรัมต่อกรัม ดังตารางที่ 4.1 เมื่อเปรียบเทียบกับไคโตซานที่สกัดได้จากไคโตซานเชิงการค้าจัดเป็นไคโตซานชนิดน้ำหนักโมเลกุลต่ำ

ตารางที่ 4.1 สมบัติของไคโตซาน

สมบัติ	วิธีวิเคราะห์	หน่วย	งานวิจัยนี้	เอกสารอ้างอิง	ไคโตซานเชิงการค้า (Aldrich 2000-2001)		
				เกษม (2544)	ชนิดน้ำหนักโมเลกุลสูง	ชนิดน้ำหนักโมเลกุลปานกลาง	ชนิดน้ำหนักโมเลกุลต่ำ
มวลโมเลกุลเฉลี่ย	GPC	คอลตัน	$1.8 \times 10^5$ <sup>b</sup>	$3.3 \times 10^5$	-	-	-
ความหนืด	Brookfield	เซนติพอยส์	54.6 <sup>a, b</sup>	30 <sup>a</sup>	800-2,000 <sup>a</sup>	200-800 <sup>a</sup>	20-200 <sup>a</sup>

#### ตารางที่ 4.1 สมบัติของไคโตซาน (ต่อ)

สมบัติ	วิธีวิเคราะห์	หน่วย	งานวิจัยนี้	เอกสาร	ไคโตซานเชิงการค้า		
				อ้างอิง	(Aldrich 2000-2001)		
				เกษม (2544)	ชนิด น้ำหนัก โมเลกุลสูง	ชนิด น้ำหนัก โมเลกุล ปานกลาง	ชนิด น้ำหนัก โมเลกุล ต่ำ
ระดับการกำจัด หมู่แอมิโน	Colloidal titration	%	90.13± 4.77	-	-	75-85	75-85
	NMR		100 <sup>b</sup>	94	-	-	-
ค่าการดูดซับ ไอโอดีน	Titration	มิลลิกรัม ต่อกรัม	690	-	-	-	-

หมายเหตุ: <sup>a</sup> สารละลายไคโตซานความเข้มข้นร้อยละ 1 ในสารละลายกรดแอมิโนความเข้มข้นร้อยละ 1

<sup>b</sup> ผลการวิเคราะห์โดย ศูนย์เทคโนโลยีโลหะ และวัสดุแห่งชาติ (MTEC)

งานวิจัยนี้ได้ทำการวิเคราะห์ค่าการดูดซับไอโอดีนด้วย เนื่องจากว่ามีการใช้คาร์บอนกัมมันต์ในการดูดซับโลหะหนักจากน้ำเสีย และการบอกลักษณะเฉพาะเจาะจงตัวหนึ่งของคาร์บอนกัมมันต์คือค่าการดูดซับไอโอดีน ฉะนั้นเพื่อให้สามารถเปรียบเทียบกันได้ระหว่างไคโตซาน และคาร์บอนกัมมันต์ จึงได้ศึกษาสมบัตินี้ โดยค่าการดูดซับไอโอดีนเป็นตัวบ่งบอกสมรรถนะของตัวดูดซับนั้นในการกำจัดสารที่มีโมเลกุลเล็ก (มันซิน ตันซูลเวสค์, 2538) จากตารางที่ 4.1 พบว่า ไคโตซานมีค่าการดูดซับไอโอดีนเท่ากับ 690 มิลลิกรัมต่อกรัม และเมื่อเปรียบเทียบค่าการดูดซับไอโอดีนของเกล็ดไคโตซานกับคาร์บอนกัมมันต์ พบว่า ค่าการดูดซับไอโอดีนของคาร์บอนกัมมันต์ชนิด Filtrasorb 300 และ Filtrasorb 400 มีค่าเท่ากับ 900 และ 1,000 มิลลิกรัมต่อกรัม ตามลำดับ (<http://www.coastalchem.com>) โดยคาร์บอนกัมมันต์มีค่าการดูดซับไอโอดีนสูงกว่าเกล็ดไคโตซาน เนื่องจากคาร์บอนกัมมันต์ได้รับการกระตุ้นทั้งทางฟิสิกส์และทางเคมี ซึ่งเป็นวิธีการที่เพิ่มความพรุนและพื้นที่ผิวจำเพาะให้มากขึ้น (กิตตินันท์ คงสืบชาติ, 2546)

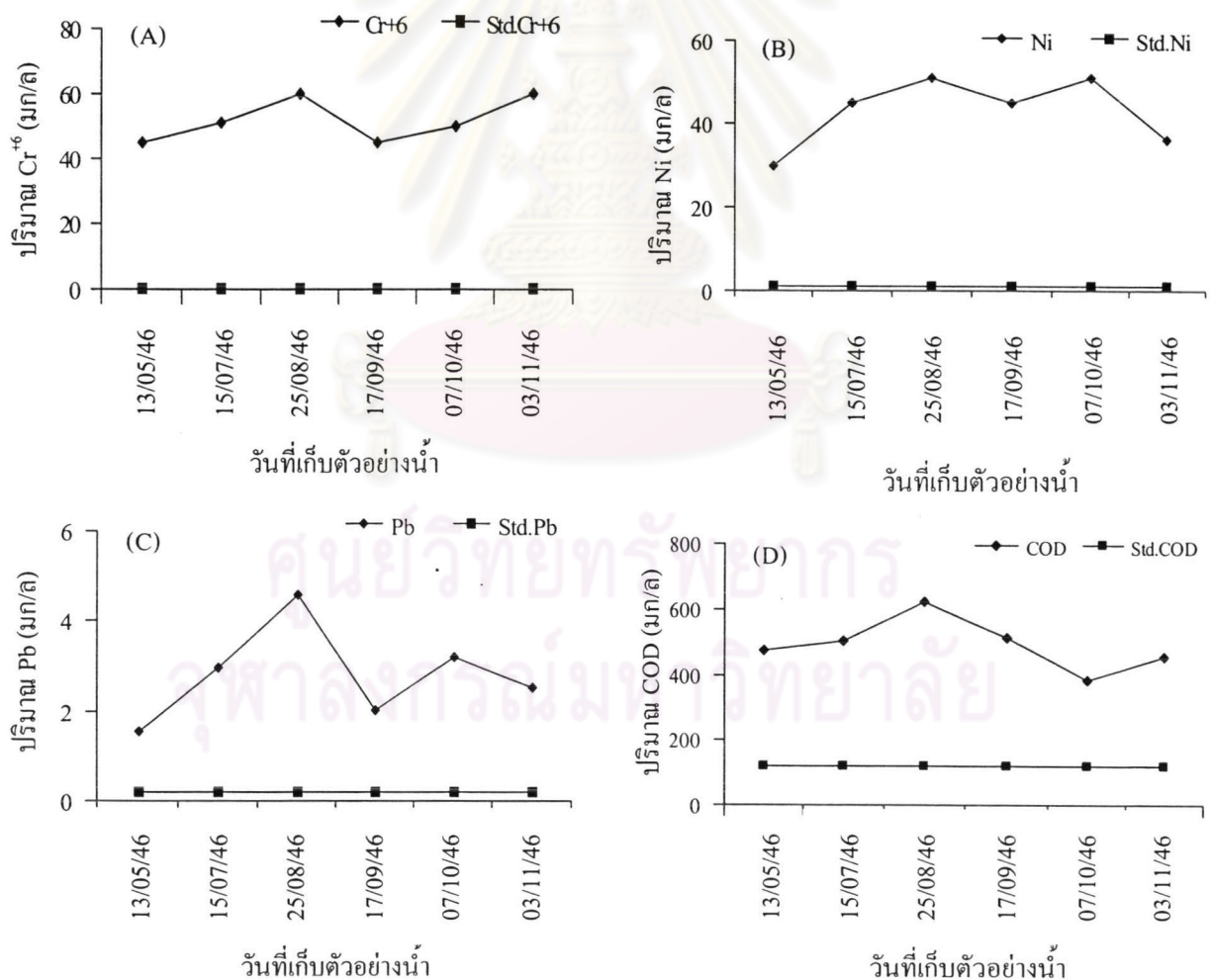
#### 4.2 สมบัติของน้ำเสียอุตสาหกรรมจากศูนย์บริการกำจัดกากอุตสาหกรรมแสมดำ (GENCO)

น้ำเสียอุตสาหกรรมจากศูนย์บริการกำจัดกากอุตสาหกรรมแสมดำที่นำมาศึกษานี้ นำมาจากบ่อรวบรวมน้ำเสียขุบโลหะที่มีน้ำเสียที่ปนเปื้อนด้วยโครเมียม (เฮกซะเวเลนซ์) แต่ไม่มีไซยาไนด์ และวิเคราะห์สมบัติต่างๆ แสดงผลดังตารางที่ 4.2 และรูปที่ 4.1 พบว่าปริมาณโครเมียม (เฮกซะเวเลนซ์)

นิกเกิล ตะกั่ว และปริมาณ COD เกินค่ามาตรฐานคุณภาพน้ำอุตสาหกรรม (ภาคผนวก ค) ทุกครั้งที่เก็บตัวอย่างน้ำ

ตารางที่ 4.2 สมบัติของน้ำเสียอุตสาหกรรม

สมบัติ	ปริมาณ	ค่ามาตรฐาน
โครเมียมเฮกซะเวเลนซ์ ( $\text{Cr}^{+6}$ )	45.2152-60.2337 mg/l	0.25 mg/l
นิกเกิล	29.7806-51.2432 mg/l	1.0 mg/l
ตะกั่ว	1.5539-4.6000 mg/l	0.2 mg/l
ซีไอดี (COD)	382.33-514.74 mg/l	120 mg/l
พีเอช (pH)	2.30-3.40	5.5-9.0

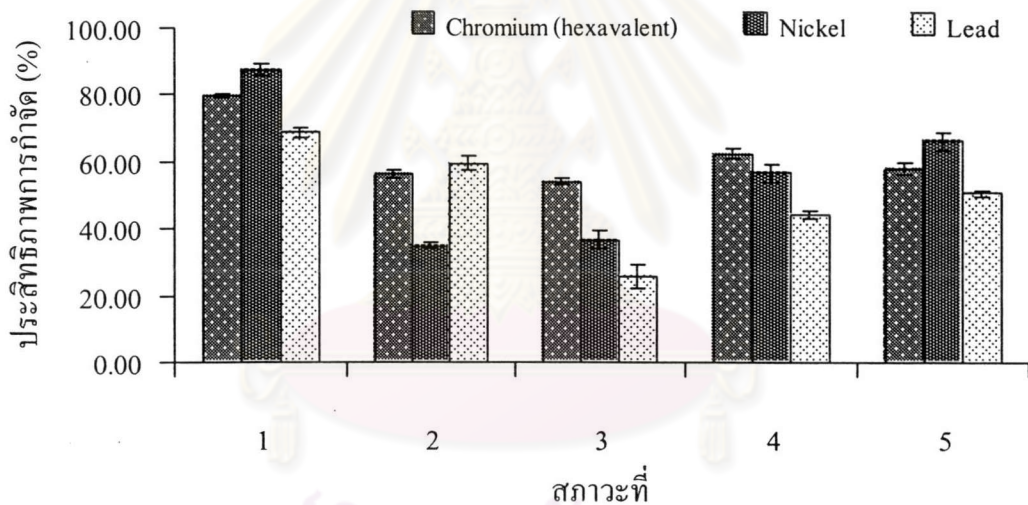


รูปที่ 4.1 คุณภาพน้ำเสียอุตสาหกรรมจากศูนย์บริการกำจัดกากอุตสาหกรรมแสมดำ ปริมาณโครเมียม (เฮกซะเวเลนซ์) (A) ปริมาณนิกเกิล (B) ปริมาณตะกั่ว (C) และค่า COD (D)



### 4.3 เวลาและอัตราเร็วในการกวนที่เหมาะสมที่สุด

จากการทดสอบการกำจัดโครเมียม (เฮกซะเวเลนซ์) นิกเกิล และตะกั่วในน้ำเสียอุตสาหกรรม ณ สถานะต่างๆ ตามตารางที่ 3.1 พบว่าสถานะที่ 1 ซึ่งใช้โคโคซาน 4 กรัม ในน้ำเสีย 200 มิลลิลิตร ที่พีเอช 6 กวนด้วยความเร็วที่ 150 รอบต่อนาที เป็นเวลา 12 ชั่วโมง มีประสิทธิภาพในการกำจัดโครเมียม (เฮกซะเวเลนซ์) นิกเกิล และตะกั่วได้ดีที่สุด คือ ร้อยละ  $79.50 \pm 0.65$ ,  $87.42 \pm 1.81$  และ  $68.75 \pm 1.60$  ตามลำดับ ดังรูปที่ 4.2 และประสิทธิภาพการกำจัดโลหะหนักทั้งสามชนิด ณ สถานะที่ 1 มีความแตกต่างกันอย่างมีนัยสำคัญทางสถิติที่ระดับความเชื่อมั่นร้อยละ 95 กับสถานะอื่นๆ (ภาคผนวก ก) ดังนั้นจึงเลือกเวลาในการกวน เท่ากับ 12 ชั่วโมง และกวนด้วยอัตราเร็ว 150 รอบต่อนาที เป็นสถานะของการศึกษาในส่วนต่อไป



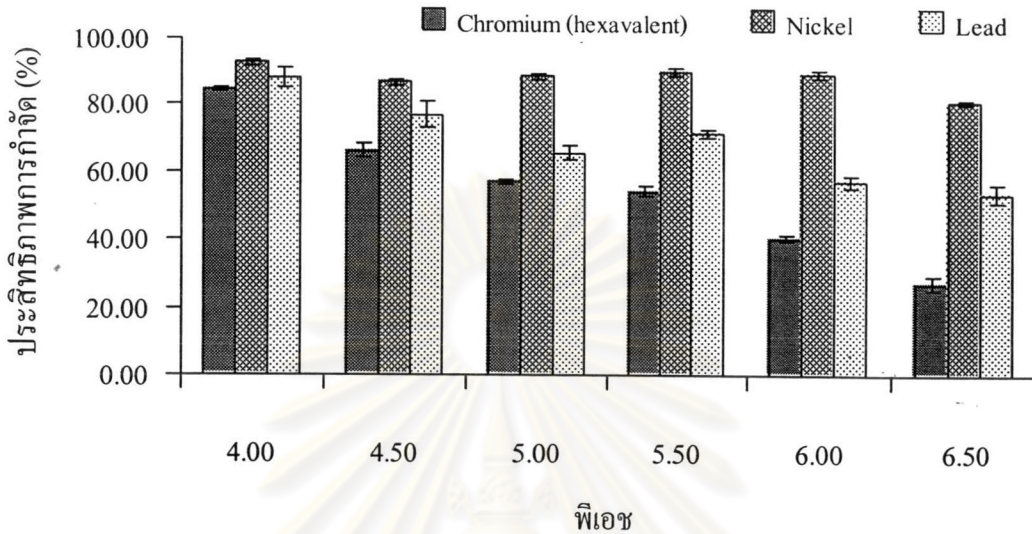
รูปที่ 4.2 ประสิทธิภาพการกำจัดโครเมียม (เฮกซะเวเลนซ์) นิกเกิล และตะกั่วด้วยเกลือโคโคซาน ณ สถานะต่างๆ

### 4.4 พีเอชที่เหมาะสมในการกำจัดโลหะหนักในน้ำเสียอุตสาหกรรม

จากการทดสอบใช้เกลือโคโคซาน 4 กรัมในน้ำเสีย 200 มิลลิลิตร กวนเป็นเวลา 12 ชั่วโมง ที่อัตราเร็ว 150 รอบต่อนาที ตามรูปที่ 4.3 พบว่าที่พีเอช 4 มีประสิทธิภาพในการกำจัดโครเมียม (เฮกซะเวเลนซ์) นิกเกิล และตะกั่วได้ดีที่สุดคิดเป็นร้อยละ  $84.41 \pm 0.82$ ,  $92.57 \pm 0.82$  และ  $87.99 \pm 2.87$  ตามลำดับ และประสิทธิภาพการกำจัดโลหะหนักทั้งสามชนิดที่พีเอช 4 มีความแตกต่างกันอย่าง



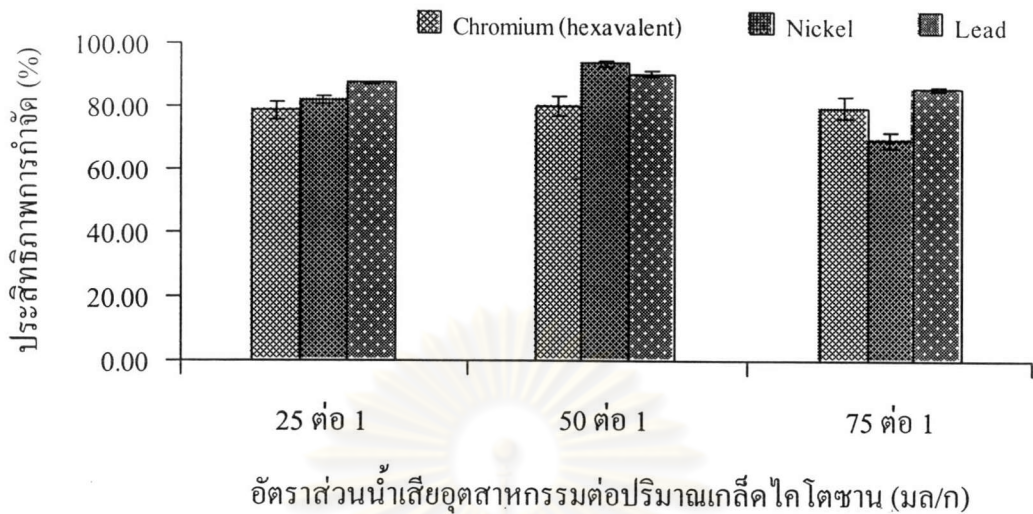
มีนัยสำคัญทางสถิติ ที่ระดับความเชื่อมั่นร้อยละ 95 กับพีเอชอื่นๆ (ภาคผนวก ก) ดังนั้นพีเอชที่เหมาะสมในการกำจัดโลหะหนักในน้ำเสียอุตสาหกรรมเท่ากับ 4



รูปที่ 4.3 ประสิทธิภาพการกำจัดโครเมียม (เฮกซะเวเลนซ์) นิกเกิล และตะกั่ว ด้วยเกลือโคโคซาน ณ พีเอชต่างๆ

#### 4.5 ปริมาณเกลือโคโคซานที่เหมาะสมในการกำจัดโลหะหนักในน้ำเสียอุตสาหกรรม

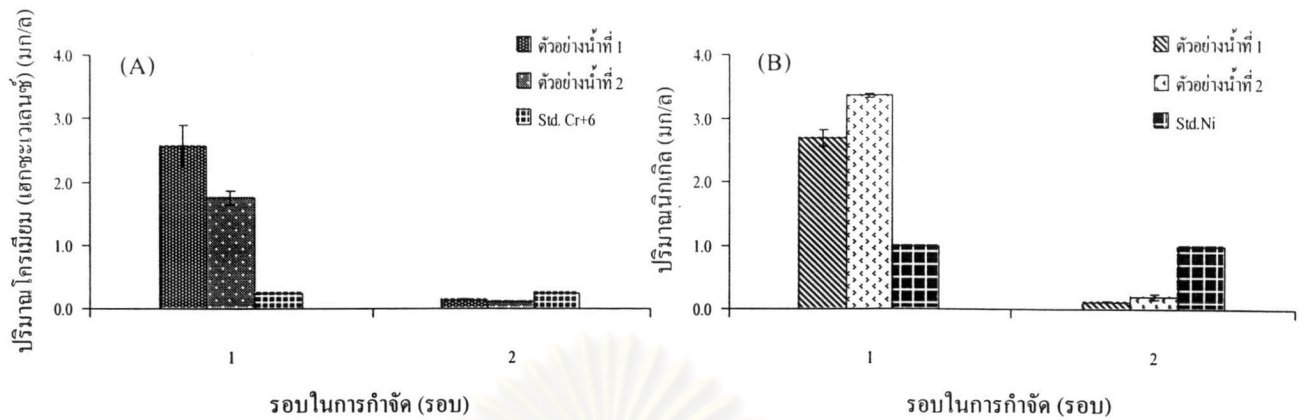
จากการทดสอบใช้เกลือโคโคซาน 4 กรัมใส่น้ำเสีย 200 มิลลิลิตร ความเป็นเวลา 12 ชั่วโมง ด้วยอัตราเร็ว 150 รอบต่อนาที ที่พีเอช 4 ตามรูปที่ 4.4 พบว่าที่อัตราส่วนของน้ำเสียต่อปริมาณเกลือโคโคซาน เท่ากับ 50 ต่อ 1 โคโคซานสามารถดูดซับโครเมียม (เฮกซะเวเลนซ์) นิกเกิล และตะกั่วได้ดีที่สุดคิดเป็นร้อยละ  $79.96 \pm 2.73$ ,  $93.52 \pm 1.13$  และ  $90.31 \pm 0.86$  ตามลำดับ สำหรับประสิทธิภาพการกำจัดโครเมียม (เฮกซะเวเลนซ์) ที่อัตราส่วนของน้ำเสียต่อปริมาณเกลือโคโคซานทั้งสามอัตราส่วน ไม่มีความแตกต่างกันอย่างมีนัยสำคัญทางสถิติที่ระดับความเชื่อมั่นร้อยละ 95 ส่วนประสิทธิภาพการกำจัดนิกเกิลและตะกั่วที่อัตราส่วนของน้ำเสียต่อปริมาณเกลือโคโคซานเท่ากับ 50 ต่อ 1 มีความแตกต่างกันอย่างมีนัยสำคัญทางสถิติที่ระดับความเชื่อมั่นร้อยละ 95 กับอัตราส่วนของน้ำเสียต่อปริมาณเกลือโคโคซานอื่นๆ (ภาคผนวก ก) ดังนั้นเพื่อให้ประสิทธิภาพการกำจัดโลหะหนักทั้งสามชนิดสูงสุด จึงเลือกปรับใช้อัตราส่วนของน้ำเสียต่อปริมาณเกลือโคโคซานเท่ากับ 50 ต่อ 1 เป็นสภาวะที่เหมาะสมของการศึกษา



รูปที่ 4.4 ความสัมพันธ์ระหว่างอัตราส่วนน้ำเสียอุตสาหกรรมต่อปริมาณเกลือโคโคซานในการกำจัดโครเมียม (เฮกซะเวเลนซ์) นิกเกิล และตะกั่ว

เมื่อทำการกำจัดโครเมียม (เฮกซะเวเลนซ์) นิกเกิล และตะกั่วในน้ำเสียอุตสาหกรรมด้วยสถานะที่เหมาะสมแล้ว พบว่าความเข้มข้นของโครเมียม (เฮกซะเวเลนซ์) และนิกเกิลหลังการบำบัดยังมีค่าเกินมาตรฐานน้ำเสียอุตสาหกรรม (ค่ามาตรฐานน้ำเสียอุตสาหกรรมของโครเมียม (เฮกซะเวเลนซ์) และนิกเกิล เท่ากับ 0.25 และ 1.0 mg/l ตามลำดับ) ดังนั้นจึงทดสอบจำนวนรอบที่ต้องการเพื่อกำจัดโครเมียม (เฮกซะเวเลนซ์) และนิกเกิล ให้อยู่ในเกณฑ์มาตรฐานน้ำเสียอุตสาหกรรม ดังรูปที่ 4.5 (A และ B) พบว่าต้องทำการบำบัดน้ำเสีย 2 รอบ น้ำเสียอุตสาหกรรมที่ผ่านการบำบัดจึงมีคุณภาพได้ตามมาตรฐานน้ำเสียอุตสาหกรรม ส่วนตะกั่วพบว่าเพียงแค่รอบการกำจัดเดียวก็สามารถทำให้ค่าความเข้มข้นของน้ำทิ้งอยู่ในเกณฑ์มาตรฐานน้ำทิ้งอุตสาหกรรมได้ แต่อย่างไรก็ตามปริมาณตะกั่วในน้ำเสียอุตสาหกรรมครั้งนี้ ถือว่าอยู่ในระดับต่ำ (ปริมาณตะกั่วเริ่มต้น 1.5-3.0 mg/l) ซึ่งเป็นที่สังเกตว่าถ้ามีปริมาณตะกั่วในน้ำเสียอุตสาหกรรมในระดับสูง อาจต้องเพิ่มรอบในการกำจัดให้มากขึ้นเช่นเดียวกัน

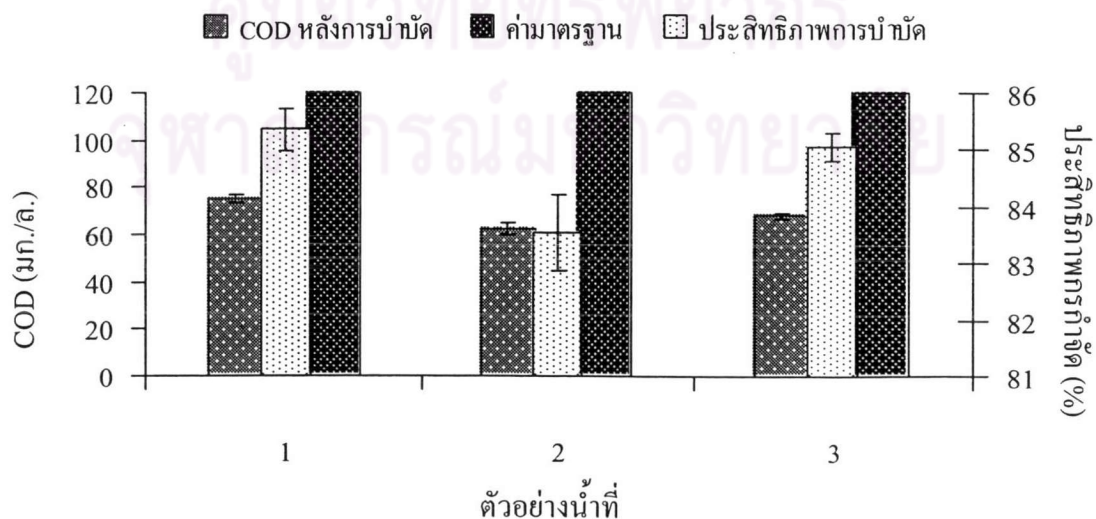




รูปที่ 4.5 ปริมาณ โครเมียม (เฮกซะเวเลนซ์) (A) และนิกเกิล (B) ในน้ำเสียอุตสาหกรรม รอบการกำจัดต่างๆ

#### 4.6 ผลการศึกษาการลดค่า COD ในน้ำเสียอุตสาหกรรมหลังการบำบัดด้วยไคโตซาน

งานวิจัยส่วนใหญ่ที่ศึกษาการกำจัดโลหะหนักด้วยไคโตซาน มักไม่มีการศึกษาถึงการลดค่า COD ในน้ำเสีย แม้ว่าปริมาณของสารอินทรีย์และอนินทรีย์ในรูปของ COD มีค่าสูงมากเกินมาตรฐาน น้ำทิ้งอุตสาหกรรมก็ตาม (ในงานวิจัยนี้ค่า COD เท่ากับ 382.33-514.74 mg/l) ซึ่งผลการศึกษาของงานวิจัยนี้พบว่า นอกจากไคโตซานสามารถบำบัดโลหะหนักได้ แล้วยังสามารถลดค่า COD ในน้ำเสียอุตสาหกรรมได้ด้วย โดยใช้เกลือไคโตซาน 4 กรัม ในน้ำเสีย 200 มิลลิลิตร กวนที่ความเร็ว 150 รอบ ต่อนาที เป็นเวลา 12 ชั่วโมง และทิ้งให้ตกตะกอนเป็นเวลา 1 ชั่วโมง แสดงผลดังรูปที่ 4.6 ไคโตซานสามารถลดค่า COD ให้อยู่ในช่วง 62.93-75.37 หรือคิดเป็นประสิทธิภาพร้อยละ 83.54-85.36 โดยปริมาณ COD ที่วิเคราะห์ได้หลังการบำบัดมีค่าไม่เกินมาตรฐานน้ำทิ้งอุตสาหกรรม (ภาคผนวก ค)



รูปที่ 4.6 ประสิทธิภาพการลดค่า COD ในน้ำเสียอุตสาหกรรม และปริมาณ COD ในน้ำเสียอุตสาหกรรม หลังบำบัดด้วยเกลือไคโตซาน



#### 4.7 ผลการศึกษาจลนพลศาสตร์การดูดซับ

ปรากฏการณ์การกำจัดโลหะหนักหรือสารอินทรีย์ด้วยเกลือโคโคซานที่เกิดขึ้นในหัวข้อตอนต้น เป็นกระบวนการดูดซับโมเลกุลของโลหะหนักและสารอินทรีย์บนโคโคซาน โดยในหัวข้อนี้เป็นการศึกษาหาอัตราเร็วของการดูดซับ เพื่อการกำหนดเวลาสัมผัส ซึ่งเท่ากับเป็นการกำหนดขนาดถังบำบัด

รูปที่ 4.7, 4.8 และ 4.9 (ซ้ายมือ) แสดงจลนพลศาสตร์การดูดซับโครเมียม (เฮกซะเวเลนซ์) นิกเกิล และตะกั่วทั้งในน้ำเสียจริง (A) น้ำเสียสังเคราะห์โลหะหนักชนิดเดียว (B) น้ำเสียสังเคราะห์โลหะหนักผสมสองชนิด (C และ D) และน้ำเสียสังเคราะห์โลหะหนักผสมสามชนิด (E) ตามลำดับ ในทุกๆตัวอย่างของน้ำเสีย พบว่าการดูดซับเกิดขึ้นอย่างรวดเร็วในช่วงเริ่มต้น หลังจากนั้นค่อยๆคงที่ในเวลา 120-150 นาที แตกต่างตามประเภทของน้ำเสีย สำหรับน้ำเสียอุตสาหกรรม การดูดซับเข้าสู่สภาวะสมดุลที่เวลา 150 นาที โดยสามารถดูดซับโครเมียม (เฮกซะเวเลนซ์) นิกเกิล และตะกั่วเฉลี่ยเท่ากับ  $8.29 \pm 1.04$ ,  $6.85 \pm 0.97$  และ  $0.54 \pm 0.10$  มิลลิกรัมต่อกรัมโคโคซาน ตามลำดับ ส่วนในน้ำเสียสังเคราะห์โครเมียม (เฮกซะเวเลนซ์) การดูดซับเข้าสู่สภาวะสมดุลที่เวลา 120 นาที สามารถดูดซับโครเมียม (เฮกซะเวเลนซ์) เฉลี่ยเท่ากับ  $12.59 \pm 1.54$  มิลลิกรัมต่อกรัมโคโคซาน ในน้ำเสียสังเคราะห์นิกเกิล การดูดซับเข้าสู่สภาวะสมดุลที่เวลา 150 นาที สามารถดูดซับนิกเกิลเฉลี่ยเท่ากับ  $9.84 \pm 1.34$  มิลลิกรัมต่อกรัมโคโคซาน ในน้ำเสียสังเคราะห์ตะกั่ว การดูดซับเข้าสู่สภาวะสมดุลที่เวลา 150 นาที สามารถดูดซับตะกั่วเฉลี่ยเท่ากับ  $0.61 \pm 0.10$  มิลลิกรัมต่อกรัมโคโคซาน

ในน้ำเสียสังเคราะห์โลหะผสมสองชนิด การดูดซับเข้าสู่สภาวะสมดุลภายในเวลา 120-150 นาที โดยสามารถดูดซับโครเมียม (เฮกซะเวเลนซ์) นิกเกิล และตะกั่ว ได้เฉลี่ย เท่ากับ  $12.39 \pm 1.58$ ,  $10.21 \pm 1.35$  และ  $0.61 \pm 0.10$  มิลลิกรัมต่อกรัมโคโคซาน ตามลำดับ

ในน้ำเสียสังเคราะห์โลหะผสมสามชนิด การดูดซับเข้าสู่สภาวะสมดุล ภายในเวลา 120-150 นาที เช่นกัน โดยสามารถดูดซับโครเมียม (เฮกซะเวเลนซ์) นิกเกิล และตะกั่ว ได้เฉลี่ย เท่ากับ  $11.94 \pm 1.45$ ,  $10.41 \pm 1.35$  และ  $0.61 \pm 0.10$  มิลลิกรัมต่อกรัมโคโคซาน ตามลำดับ

นอกจากนี้จากรูปที่ 4.7, 4.8 และ 4.9 แสดงว่าการดูดซับเข้าสู่สภาวะสมดุลภายใน 3 ชั่วโมงเท่านั้น ดังนั้นเวลาในการกวนที่ 12 ชั่วโมง ตามผลการศึกษาในตอนต้น เป็นเวลาที่นานเกินไปโดยไม่ส่งผลให้ประสิทธิภาพในการดูดซับโลหะหนักเพิ่มมากขึ้นและเป็นการสิ้นเปลืองค่าใช้จ่ายในการบำบัด

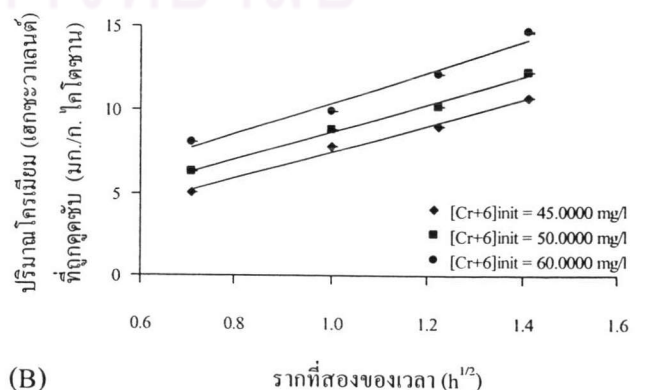
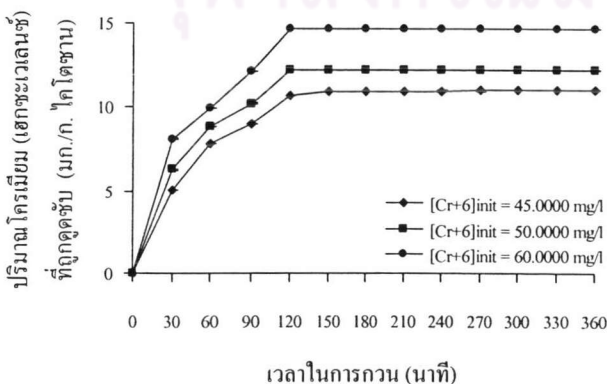
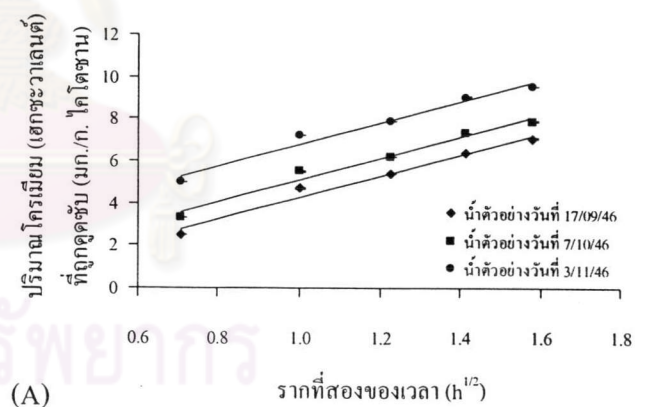
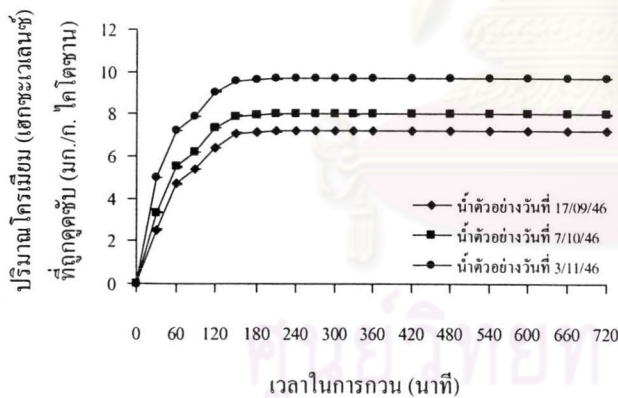
ด้วย ผลการทดลองนี้สอดคล้องกับงานวิจัยของ Udaybaskar et. al. (1979) ที่พบว่าการกำจัด โครเมียม (เฮกซะเวเลนซ์) ในช่วงแรกเกิดขึ้นอย่างรวดเร็วโดยมีค่าการกำจัดมากกว่าร้อยละ 80 ในเวลา 1 ชั่วโมงแรก Covas et. al. (1992) พบว่าอัตราการดูดซับในช่วงแรกเกิดขึ้นอย่างรวดเร็ว และค่อยๆเพิ่มขึ้นทีละน้อยจนถึง 100 นาที่ หลังจากนั้นอัตราการดูดซับเริ่มคงที่ หรือ Eiden et. al. (1980) พบว่าการดูดซับเกิดขึ้นอย่างรวดเร็วในช่วงแรกและค่อยๆคงที่ในเวลา 120-180 นาที่ แต่งานวิจัยของ Huang et. al., 1996 Findon et. al., 1993 และ Ng et. al., 2003 พบว่า การเข้าสู่สภาวะสมดุลของการดูดซับโลหะหนักด้วย ไคโตซานต้องใช้เวลา 24 ชั่วโมง 7 วัน และ 14 วัน ตามลำดับ

รูปที่ 4.7, 4.8 และ 4.9 (ขวามือ) แสดงความสัมพันธ์ระหว่างรากที่สองของเวลาที่ใช้ในการกวนกับปริมาณโลหะหนักที่ถูกดูดซับ ได้เป็นกราฟเส้นตรง แสดงว่าขั้นตอนการกำหนดอัตราการดูดซับคือ ขั้นตอน Intraparticle diffusion จากการศึกษาภาพผิวหน้าของไคโตซานด้วยกล้อง Scanning Electron Microscope (SEM) ก่อนใช้บำบัดน้ำเสียอุตสาหกรรม ด้วยเครื่อง SEM ที่กำลังขยาย 2000 เท่า ดังรูปที่ 4.10 (A) แสดงให้เห็นว่าเนื้อไคโตซานจับกันเป็นเม็ดๆ มีช่องว่างระหว่างเม็ด และพื้นผิวหน้าขรุขระ หลังจากใช้บำบัดน้ำเสียอุตสาหกรรม และน้ำเสียสังเคราะห์โลหะผสม ดังรูปที่ 4.10 (B และ C) พบชั้นวัสดุอื่นปกคลุมผิวของเนื้อไคโตซาน อัตราเร็วของขั้นตอน Intraparticle diffusion ( $k_1$ ) ได้จากความชันของกราฟระหว่างรากที่สองของเวลาที่ใช้ในการกวน ( $t^{1/2}$ ) กับปริมาณโลหะหนักที่ถูกดูดซับ แสดงได้ดังตารางที่ 4.3 ในน้ำเสียอุตสาหกรรม ค่า  $k_1$  ของโครเมียม (เฮกซะเวเลนซ์) อยู่ในช่วง 5.0958-5.1731 มิลลิกรัม/กรัม-ชั่วโมง<sup>1/2</sup> นิกเกิล 3.3187-4.3856 มิลลิกรัม/กรัม-ชั่วโมง<sup>1/2</sup> และตะกั่ว 0.4208-0.5203 มิลลิกรัม/กรัม-ชั่วโมง<sup>1/2</sup> ในน้ำเสียโลหะชนิดเดียวของโครเมียม (เฮกซะเวเลนซ์) นิกเกิล และตะกั่ว ค่า  $k_1$  เท่ากับ 7.7648-9.0880, 6.2647-7.7034 และ 0.4384-0.4979 มิลลิกรัม/กรัม-ชั่วโมง<sup>1/2</sup> โดยค่า  $k_1$  เพิ่มขึ้นเมื่อความเข้มข้นของโลหะหนักเริ่มต้นสูงขึ้น นอกจากนี้ยังพบว่าการที่มีโครเมียม (เฮกซะเวเลนซ์) นิกเกิล และตะกั่วอยู่ด้วยกันทั้งในน้ำเสียสังเคราะห์โลหะผสมสองชนิดและน้ำเสียสังเคราะห์โลหะผสมสามชนิดส่งผลให้อัตราเร็วช้ากว่าในน้ำเสียสังเคราะห์โลหะชนิดเดียว แสดงว่าการมีโลหะหนักหลายชนิดอยู่ด้วยกัน อาจเกิดผลการหักล้างฤทธิ์ความสามารถการดูดซับขึ้น

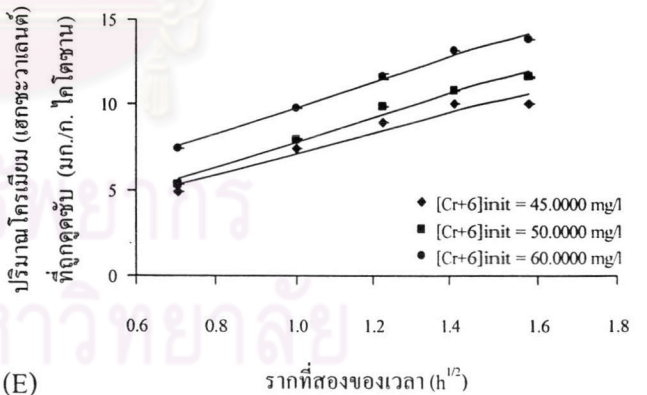
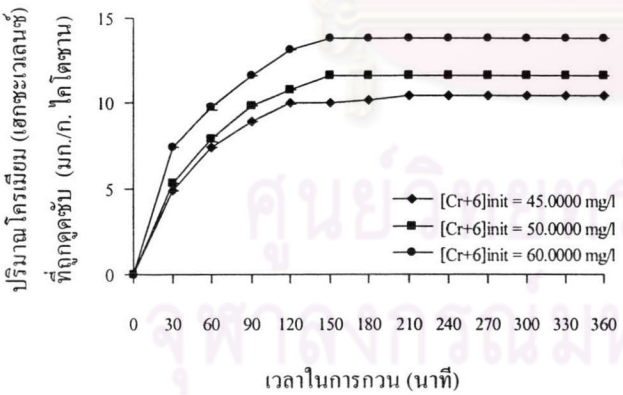
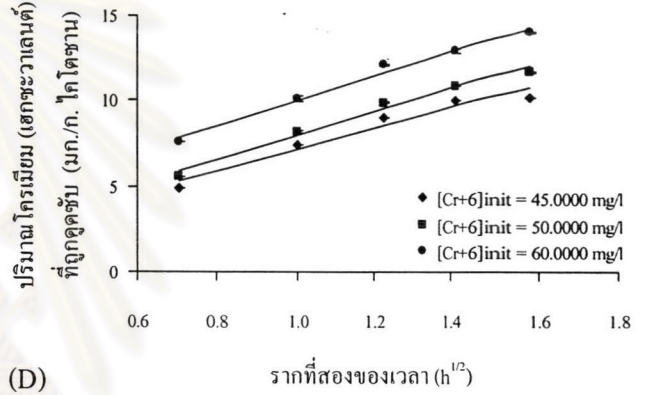
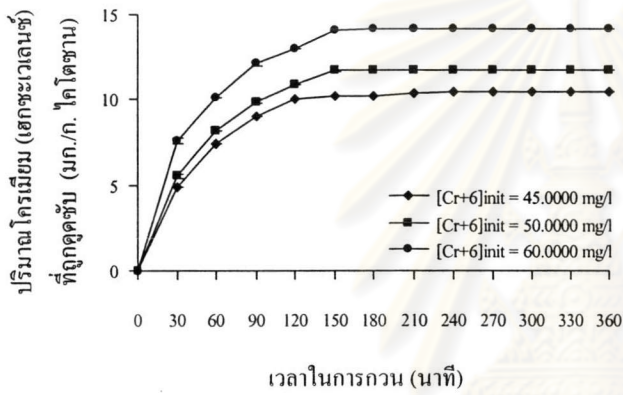
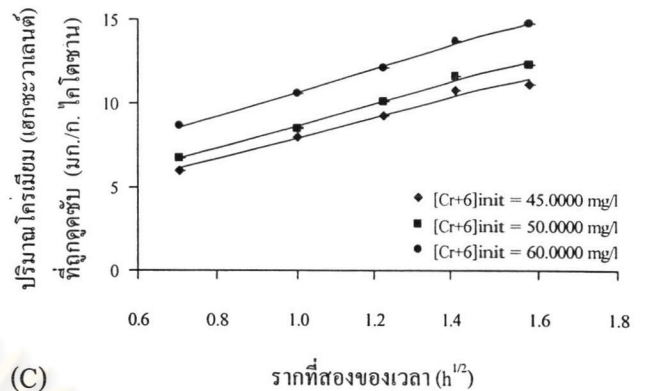
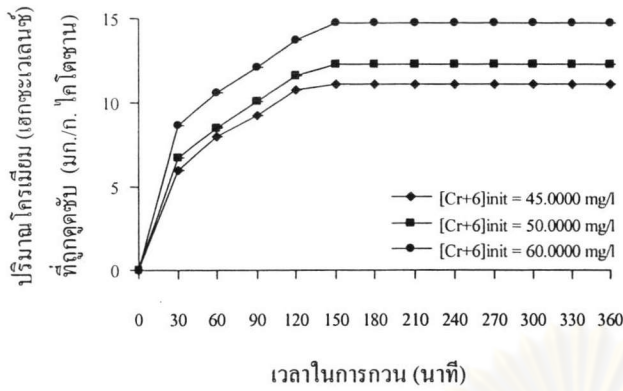
จากการเปลี่ยนแปลงปริมาณโลหะหนักเริ่มต้นในน้ำเสียสังเคราะห์ให้ครอบคลุมความเข้มข้นที่มีอยู่ในน้ำเสียอุตสาหกรรม ตามรูปที่ 4.11 แสดงอย่างชัดเจนว่าปริมาณโลหะหนักที่ถูกดูดซับเพิ่มขึ้นตามความเข้มข้นเริ่มต้นในน้ำเสีย รูปที่ 4.11 (A) แสดงว่านิกเกิลและตะกั่วมีผลทำให้การดูดซับโครเมียม (เฮกซะเวเลนซ์) บนไคโตซานมีค่าลดลงเล็กน้อย ทั้งในน้ำเสียสังเคราะห์โลหะหนักผสมสองชนิดและน้ำเสียสังเคราะห์โลหะหนักผสมสามชนิด รูปที่ 4.11 (B) แสดงว่าการดูดซับนิกเกิลในน้ำเสียสังเคราะห์โลหะหนักผสมสองชนิดและน้ำเสียสังเคราะห์โลหะหนักผสมสามชนิดเพิ่มขึ้นเล็กน้อย โดยตะกั่วมีอิทธิพลในการดูดซับนิกเกิลมากกว่าโครเมียม (เฮกซะเวเลนซ์) รูปที่ 4.11 (C) แสดงว่าการดูดซับ



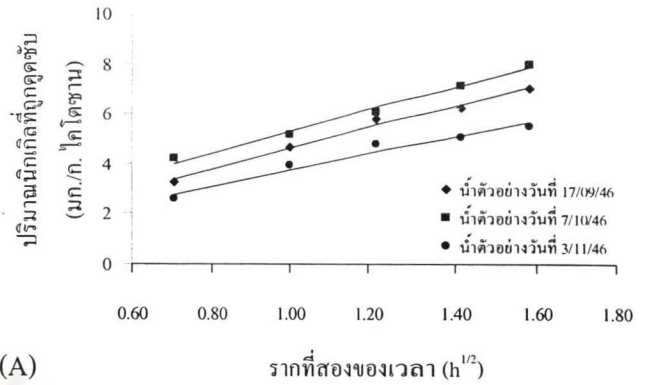
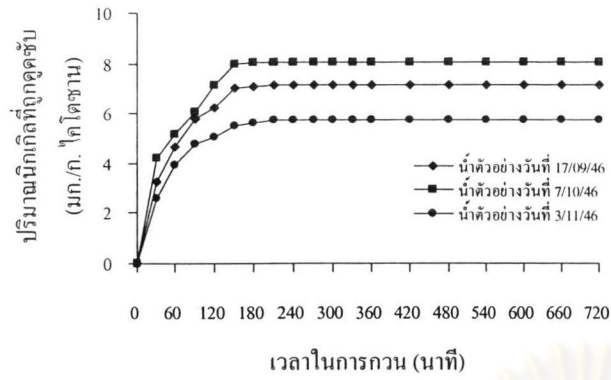
ตะกั่วทั้งในน้ำเสียสังเคราะห์โลหะหนักชนิดเดียว น้ำเสียสังเคราะห์โลหะหนักผสมสองชนิดและน้ำเสียสังเคราะห์โลหะหนักผสมสามชนิดมีค่าไม่แตกต่างกัน หมายความว่า การมีโครเมียม (เฮกซะเวเลนซ์) นิกเกิล และตะกั่วในน้ำเสียไม่ส่งผลต่อการดูดซับตะกั่วบนไคโตซาน ซึ่งอาจอธิบายได้ว่าเนื่องจากความเข้มข้นเริ่มต้นของตะกั่วในน้ำเสียนั้นมีค่าต่ำกว่าความเข้มข้นเริ่มต้นของโครเมียม (เฮกซะเวเลนซ์) และนิกเกิลมาก ดังนั้นจึงเกิดการดูดซับของตะกั่วบนไคโตซานก่อน โลหะหนักชนิดอื่นๆ ในน้ำเสีย อย่างไรก็ตามผลการเสริมฤทธิ์และหักล้างฤทธิ์การดูดซับโครเมียม (เฮกซะเวเลนซ์) นิกเกิล และตะกั่วไม่สูงมากนัก อาจอธิบายได้ว่าเนื่องจากโครเมียม (เฮกซะเวเลนซ์) นิกเกิล และตะกั่วมีความสามารถในการดึงอิเล็กตรอน (Electronegativity, EN) และมีรัศมีไอออนที่ใกล้เคียงกัน โดยค่า EN ของโครเมียม (เฮกซะเวเลนซ์) นิกเกิล และตะกั่ว เท่ากับ 1.6, 1.9 และ 1.9 ตามลำดับ ส่วนรัศมีไอออนของโครเมียม (เฮกซะเวเลนซ์) นิกเกิล และตะกั่ว เท่ากับ <math><1.16 \text{ \AA}</math>, \text{O}^{2-}) และไนเตรต ( $\text{NO}_3^-$ ) จากสารประกอบของโครเมียม (เฮกซะเวเลนซ์) และตะกั่วที่นำมาใช้ในการทดลองต่างมีค่าความแรงของเบส (Base strength) ที่ใกล้เคียงกัน (ภาคผนวก ค) นั่นคือความสามารถในการให้การอิเล็กตรอนแก่โลหะหนักเพื่อใช้จับหมู่เอมีโน ไม่มีผลมากนัก (อินทริรา หาญพงษ์พันธ์ และคณะ, 2545)



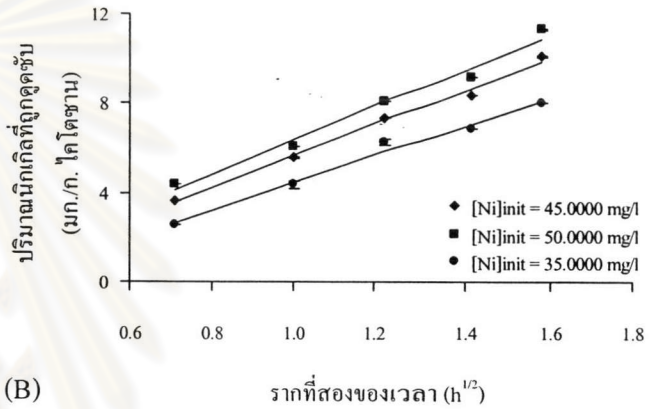
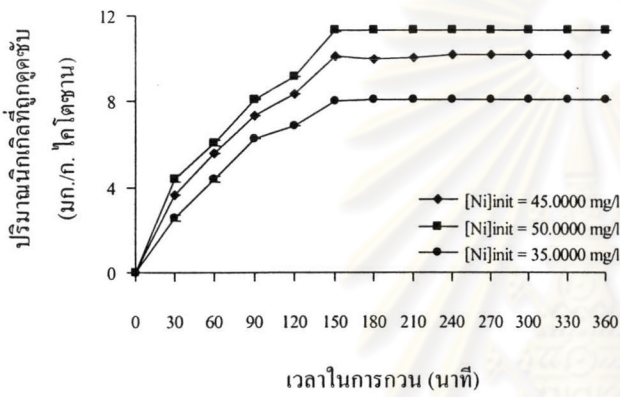




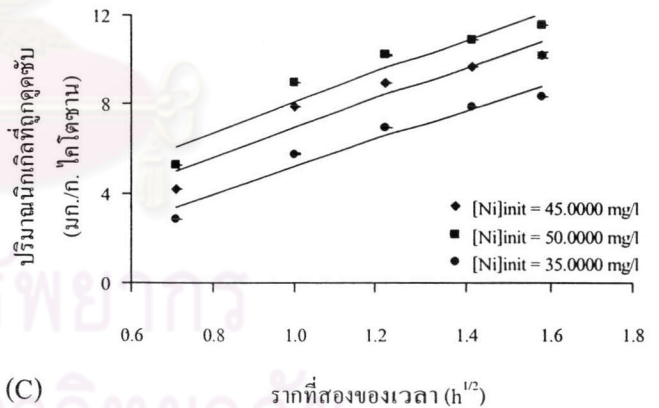
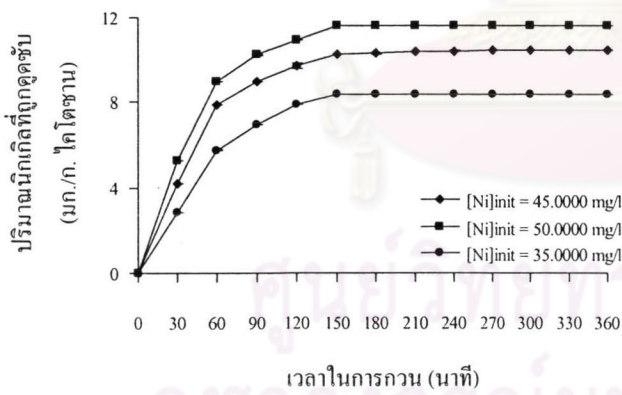
รูปที่ 4.7 ปริมาณโครเมียม (เฮกซะเวเลนซ์) ที่ถูกดูดซับ ณ เวลาในการกวนต่างๆ ในน้ำเสียอุตสาหกรรม (A) น้ำเสียสังเคราะห์โครเมียม (เฮกซะเวเลนซ์) (B) น้ำเสียสังเคราะห์โครเมียม (เฮกซะเวเลนซ์) ผสมนิกเกิล (C) น้ำเสียสังเคราะห์โครเมียม (เฮกซะเวเลนซ์) ผสมตะกั่ว (D) และน้ำเสียสังเคราะห์โครเมียม (เฮกซะเวเลนซ์) ผสมนิกเกิล และตะกั่ว (E) ด้วยไคโตซาน



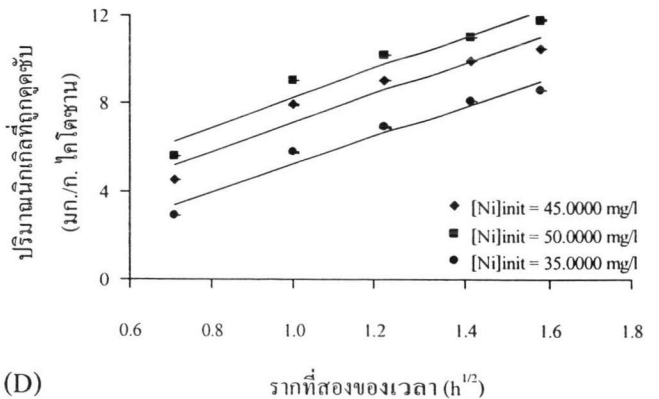
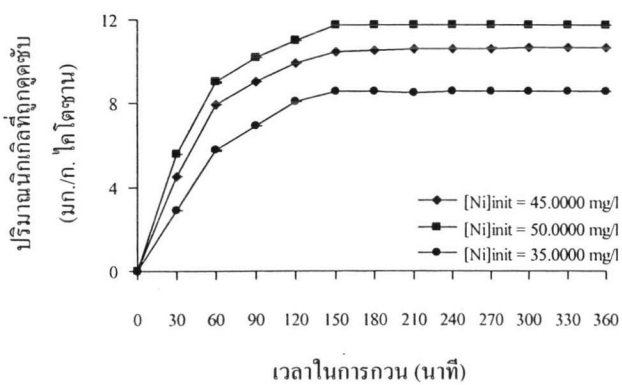
(A)



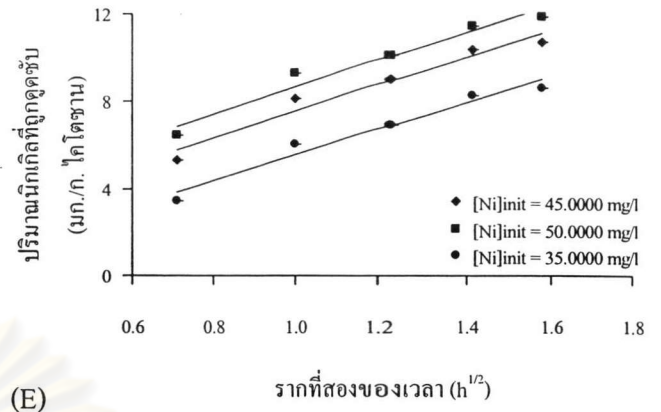
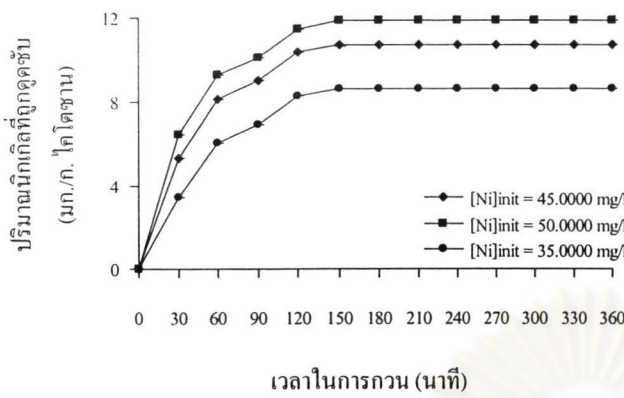
(B)



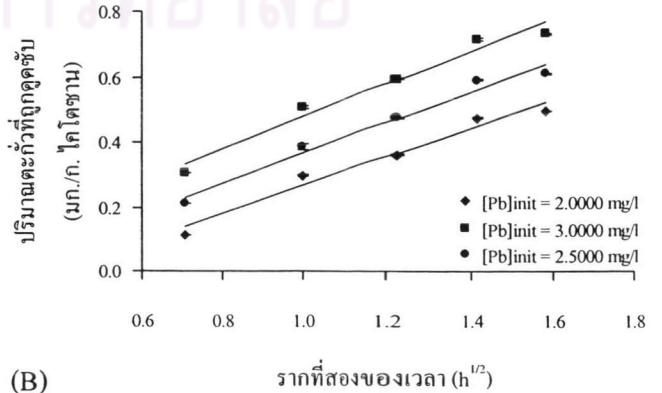
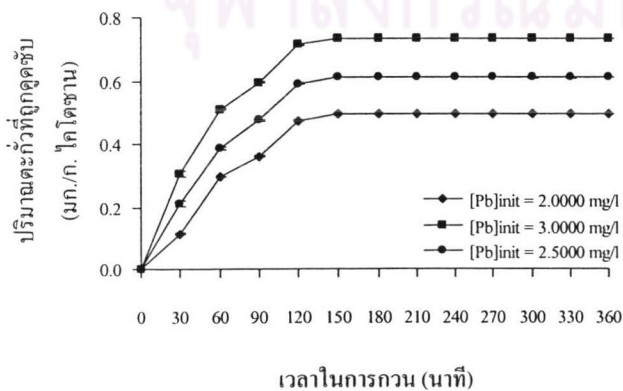
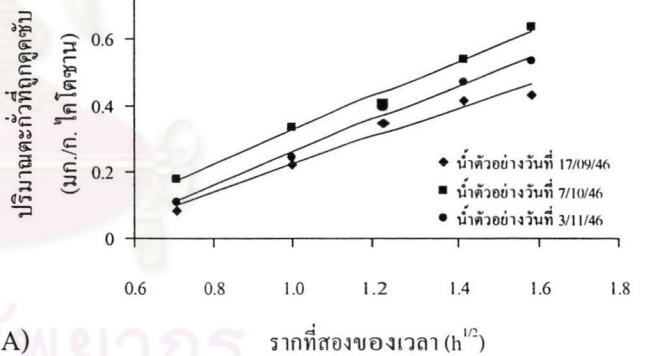
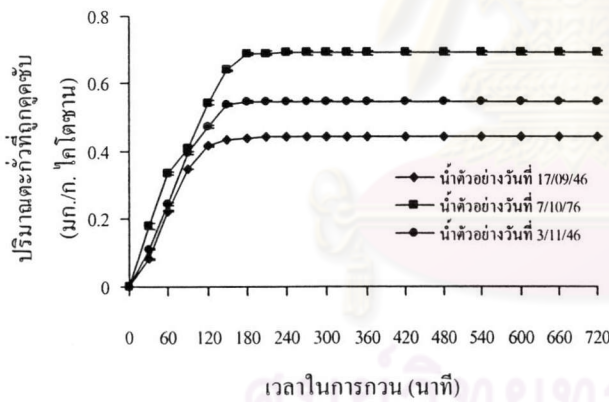
(C)



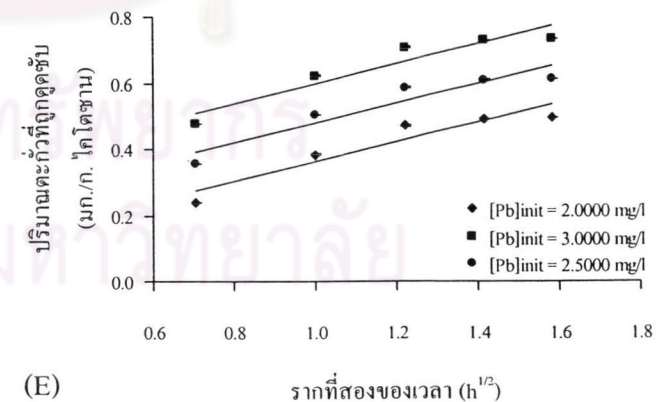
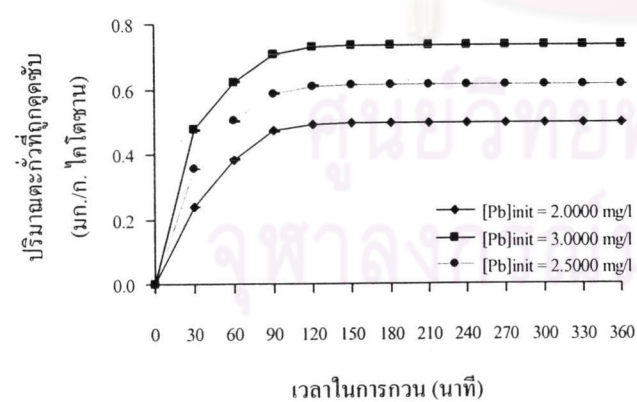
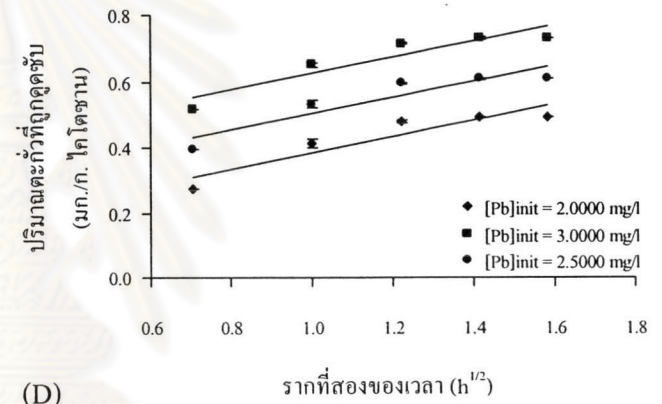
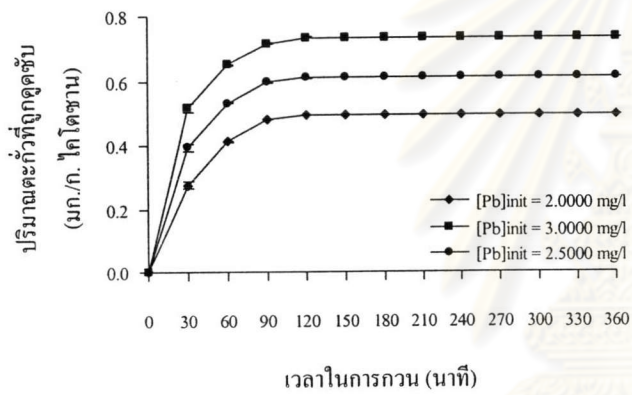
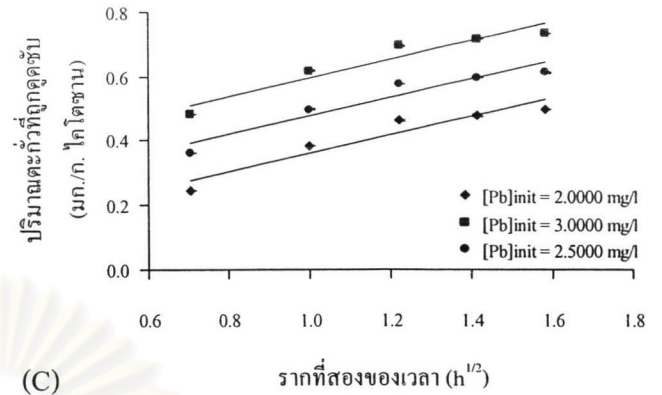
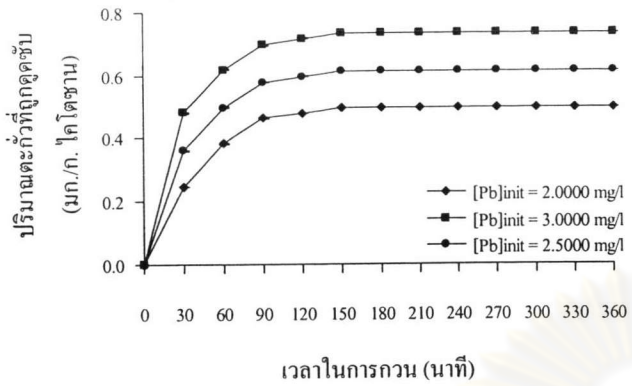
(D)



รูปที่ 4.8 ปริมาณนิกเกิลที่ถูกดูดซับ ณ เวลาในการกวนต่างๆ ในน้ำเสียอุตสาหกรรม (A) น้ำเสียสังเคราะห์ นิกเกิล (B) น้ำเสียสังเคราะห์นิกเกิลผสมโครเมียม (เฮกซะเวเลนซ์) (C) น้ำเสียสังเคราะห์นิกเกิลผสมตะกั่ว (D) และน้ำเสียสังเคราะห์นิกเกิล ผสมโครเมียม (เฮกซะเวเลนซ์) และตะกั่ว (E) ด้วยไลโคซาน







รูปที่ 4.9 ปริมาณตะกั่วที่ถูกดูดซับ ณ เวลาในการกวนต่างๆ ในน้ำเสียอุตสาหกรรม (A) น้ำเสียสังเคราะห์ ตะกั่ว (B) น้ำเสียสังเคราะห์ตะกั่วผสมโครเมียม (เฮกซะเวเลนซ์) (C) น้ำเสียสังเคราะห์ตะกั่วผสมนิกเกิล (D) และน้ำเสียสังเคราะห์ตะกั่วผสมโครเมียม (เฮกซะเวเลนซ์) และนิกเกิล (E) ด้วยไลโตซาน

ตารางที่ 4.3 อัตราเร็วของการเกิดปฏิกิริยาในการดูดซับโครเมียม (เฮกซะเวเลนซ์) นิกเกิล และตะกั่วด้วยโคโตซาน

ประเภทของ น้ำเสีย	ความเข้มข้น โครเมียม (เฮกซะเวเลนซ์) เริ่มต้น (mg/l)	โครเมียม (เฮกซะเวเลนซ์)			ความเข้มข้น นิกเกิลเริ่มต้น (mg/l)	นิกเกิล			ความเข้มข้น ตะกั่วเริ่มต้น (mg/l)	ตะกั่ว		
		$k_1$ (mg/g-h <sup>1/2</sup> )	$t_{lim}$ (min)	$R^2$		$k_1$ (mg/g-h <sup>1/2</sup> )	$t_{lim}$ (min)	$R^2$		$k_1$ (mg/g-h <sup>1/2</sup> )	$t_{lim}$ (min)	$R^2$
น้ำเสีย อุตสาหกรรม	45.2680	5.0958	150	0.9792	44.9673	4.2705	150	0.9903	2.0064	0.4208	150	0.9693
	50.1355	5.1570	150	0.9783	51.2432	4.3856	150	0.9869	3.1929	0.5203	150	0.9896
	60.2337	5.1731	150	0.9779	36.1099	3.3187	150	0.9685	2.5351	0.5014	150	0.9917
น้ำเสีย สังเคราะห์ โครเมียม (เฮกซะเวเลนซ์)	45.0000	7.7468	120	0.9878	-	-	-	-	-	-	-	-
	50.0000	8.1564	120	0.9934	-	-	-	-	-	-	-	-
	60.0000	9.0880	120	0.9717	-	-	-	-	-	-	-	-
น้ำเสีย สังเคราะห์ นิกเกิล	45.0000	-	-	-	45.0000	7.1851	150	0.9938	-	-	-	-
	50.0000	-	-	-	50.0000	7.7034	150	0.9815	-	-	-	-
	35.0000	-	-	-	35.0000	6.2647	150	0.9888	-	-	-	-
น้ำเสีย สังเคราะห์ตะกั่ว	2.0000	-	-	-	2.0000	-	-	-	2.0000	0.4384	150	0.9678
	3.0000	-	-	-	3.0000	-	-	-	3.0000	0.4979	150	0.9682
	2.5000	-	-	-	2.5000	-	-	-	2.5000	0.4676	150	0.9768

ตารางที่ 4.3 อัตราเร็วของการเกิดปฏิกิริยาในการดูดซับโครเมียม (เฮกซะเวเลนซ์) นิกเกิล และตะกั่วด้วยโคโตนาน (ต่อ)

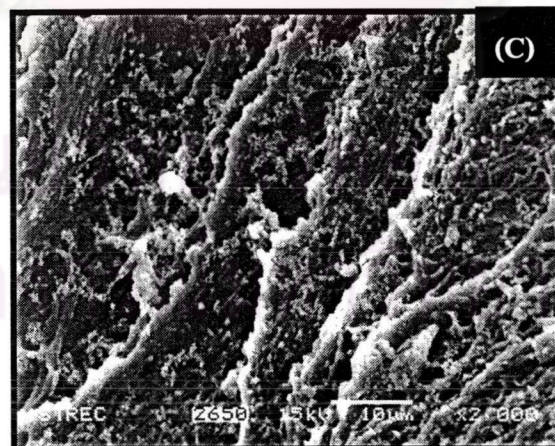
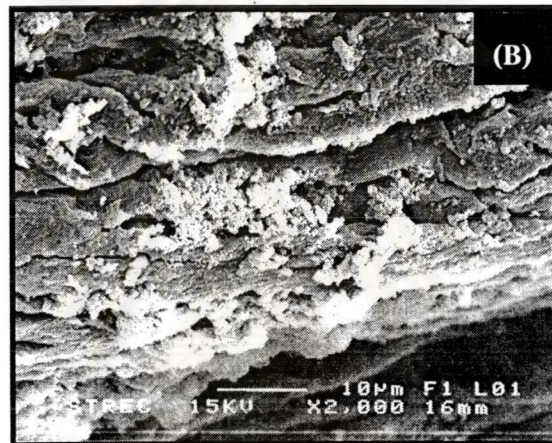
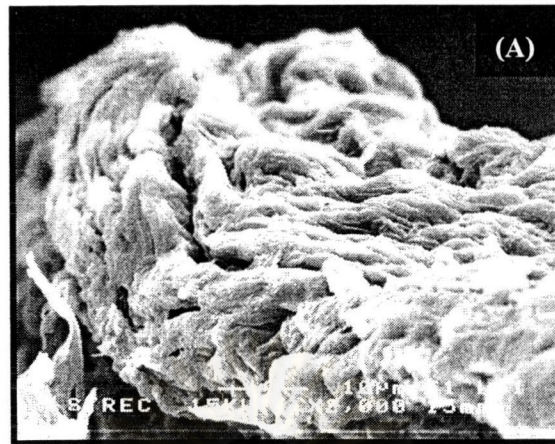
ประเภทของ น้ำเสีย	ความเข้มข้น โครเมียม (เฮกซะเวเลนซ์) เริ่มต้น (mg/l)	โครเมียม (เฮกซะเวเลนซ์)			ความเข้มข้น นิกเกิลเริ่มต้น (mg/l)	นิกเกิล			ความเข้มข้น ตะกั่วเริ่มต้น (mg/l)	ตะกั่ว		
		$k_1$ (mg/g-h <sup>1/2</sup> )	$t_{lim}$ (min)	$R^2$		$k_1$ (mg/g-h <sup>1/2</sup> )	$t_{lim}$ (min)	$R^2$		$k_1$ (mg/g-h <sup>1/2</sup> )	$t_{lim}$ (min)	$R^2$
น้ำเสีย สังเคราะห์ โครเมียม (เฮกซะเวเลนซ์) ผสมนิกเกิล	45.0000	6.0599	150	0.9838	45.0000	6.6973	150	0.9083	-	-	-	-
	50.0000	6.5181	150	0.9949	50.0000	6.9918	150	0.9189				
	60.0000	7.0293	150	0.9977	35.0000	6.2794	150	0.9509				
น้ำเสีย สังเคราะห์ โครเมียม (เฮกซะเวเลนซ์) ผสมตะกั่ว	45.0000	6.2078	150	0.9528	-	-	-	-	2.0000	0.2873	150	0.9098
	50.0000	7.0418	150	0.9815					3.0000	0.2886	150	0.9161
	60.0000	7.3487	150	0.9868					2.5000	0.2886	150	0.9123
น้ำเสีย สังเคราะห์ นิกเกิล ผสม ตะกั่ว	-	-	-	-	45.0000	6.6255	150	0.9308	2.0000	0.2515	120	0.8589
					50.0000	6.7730	150	0.9409	3.0000	0.2491	120	0.8658
					35.0000	6.4107	150	0.9623	2.5000	0.2482	120	0.8583



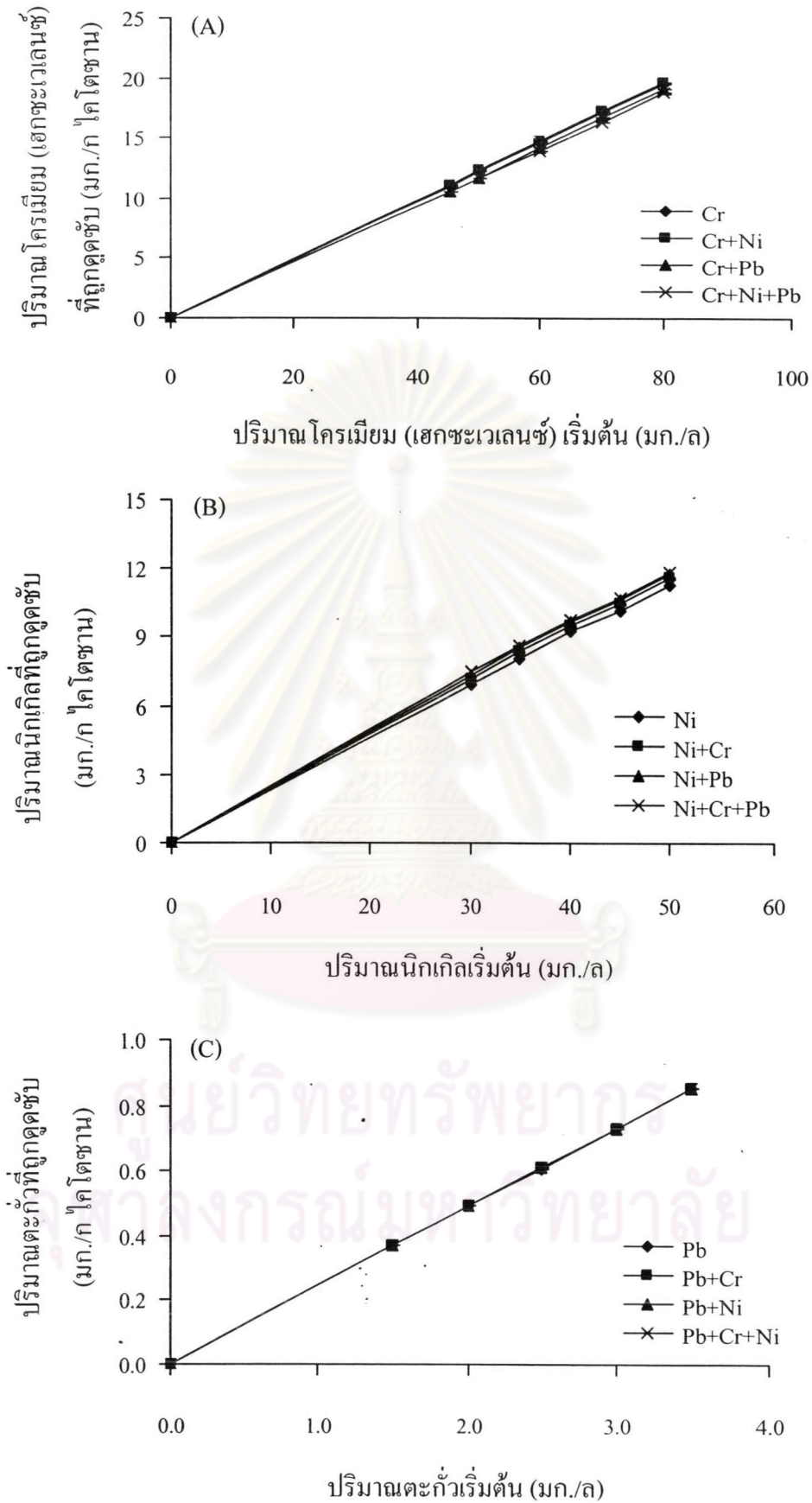
ตารางที่ 4.3 อัตราเร็วของการเกิดปฏิกิริยาในการดูดซับโครเมียม (เสกชเวเลนซ์) นิกเกิล และตะกั่วด้วยไคโตซาน (ต่อ)

ประเภทของ น้ำเสีย	ความเข้มข้น โครเมียม (เสกชเวเลนซ์) เริ่มต้น (mg/l)	โครเมียม (เสกชเวเลนซ์)			ความเข้มข้น นิกเกิลเริ่มต้น (mg/l)	นิกเกิล			ความเข้มข้น ตะกั่วเริ่มต้น (mg/l)	ตะกั่ว		
		$k_1$ (mg/g-h <sup>1/2</sup> )	$t_{lim}$ (min)	$R^2$		$k_1$ (mg/g-h <sup>1/2</sup> )	$t_{lim}$ (min)	$R^2$		$k_1$ (mg/g-h <sup>1/2</sup> )	$t_{lim}$ (min)	$R^2$
น้ำเสีย สังเคราะห์	45.0000	6.0804	150	0.9428	45.0000	6.1176	150	0.9563	2.0000	0.2979	120	0.8899
	50.0000	7.2432	150	0.9799	50.0000	6.1527	150	0.9591	3.0000	0.3005	120	0.8908
โครเมียม (เสกชเวเลนซ์) ผสมนิกเกิล และตะกั่ว	60.0000	7.4956	150	0.9915	35.0000	5.9188	150	0.9670	2.5000	0.2974	120	0.8886

หมายเหตุ:  $t_{lim}$  = limit time for the rate determining s



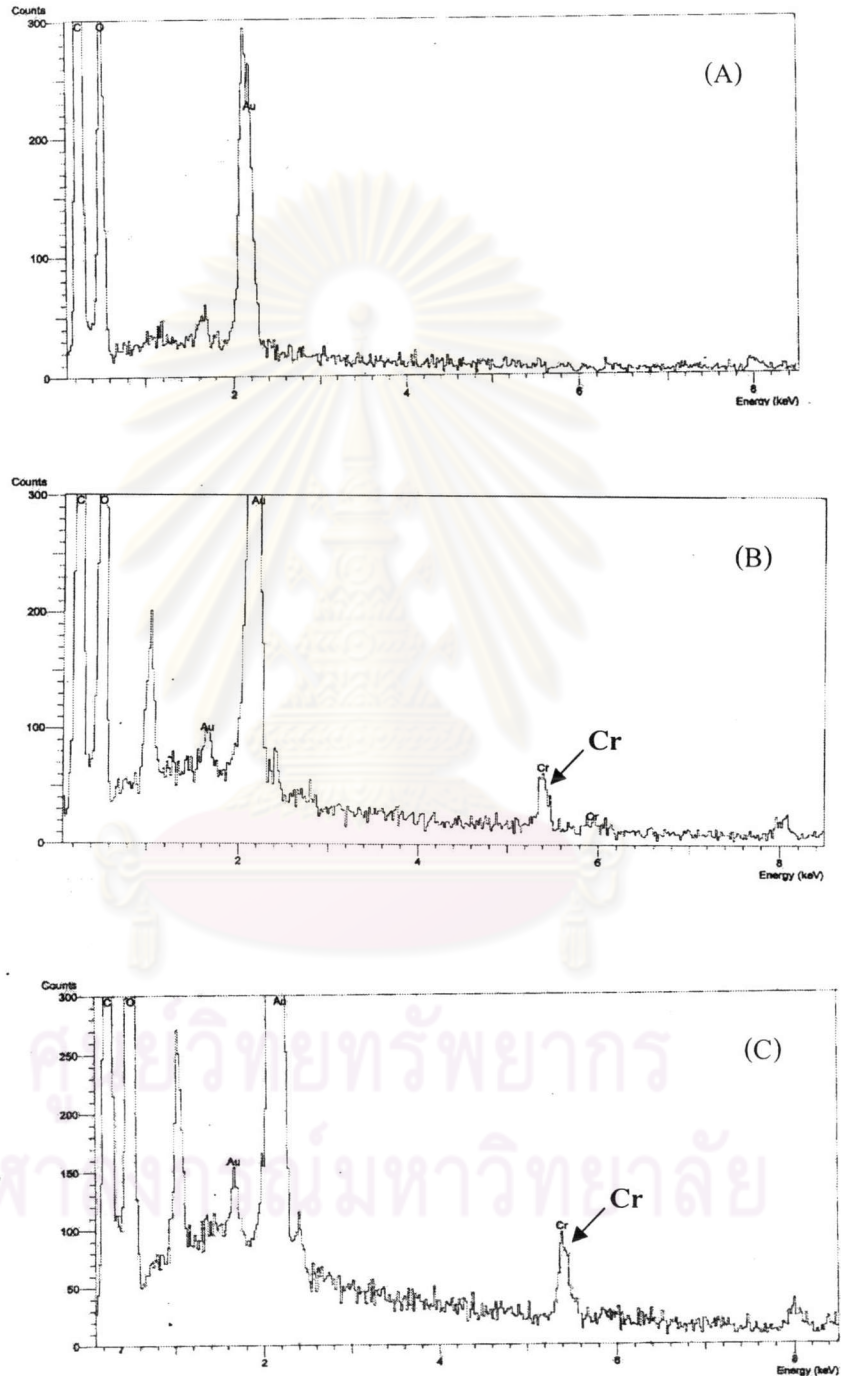
รูปที่ 4.10 ภาพขยายพื้นผิวของโคโคซานเมื่อคูล้าง SEM ก่อนตกตะกอนกับน้ำเสียอุตสาหกรรม (A) หลังบำบัดน้ำเสียอุตสาหกรรม (B) และหลังบำบัดน้ำเสียสังเคราะห์โลหะผสม (C)



รูปที่ 4.11 ปริมาณโครเมียม (เฮกซะเวเลนซ์) (A) นิกเกิล (B) และตะกั่ว (C) ที่ถูกดูดซับด้วยไคโตซาน ณ ความเข้มข้นต่างๆ



และจากการศึกษาตะกอนไคโตซานด้วยเครื่อง Energy Dispersive X-ray analysis (EDX) พบว่าเห็นแต่พีคของโครเมียมเท่านั้น ดังรูปที่ 4.12 (A, B และ C) ทั้งนี้อาจเนื่องจากความสามารถของอุปกรณ์

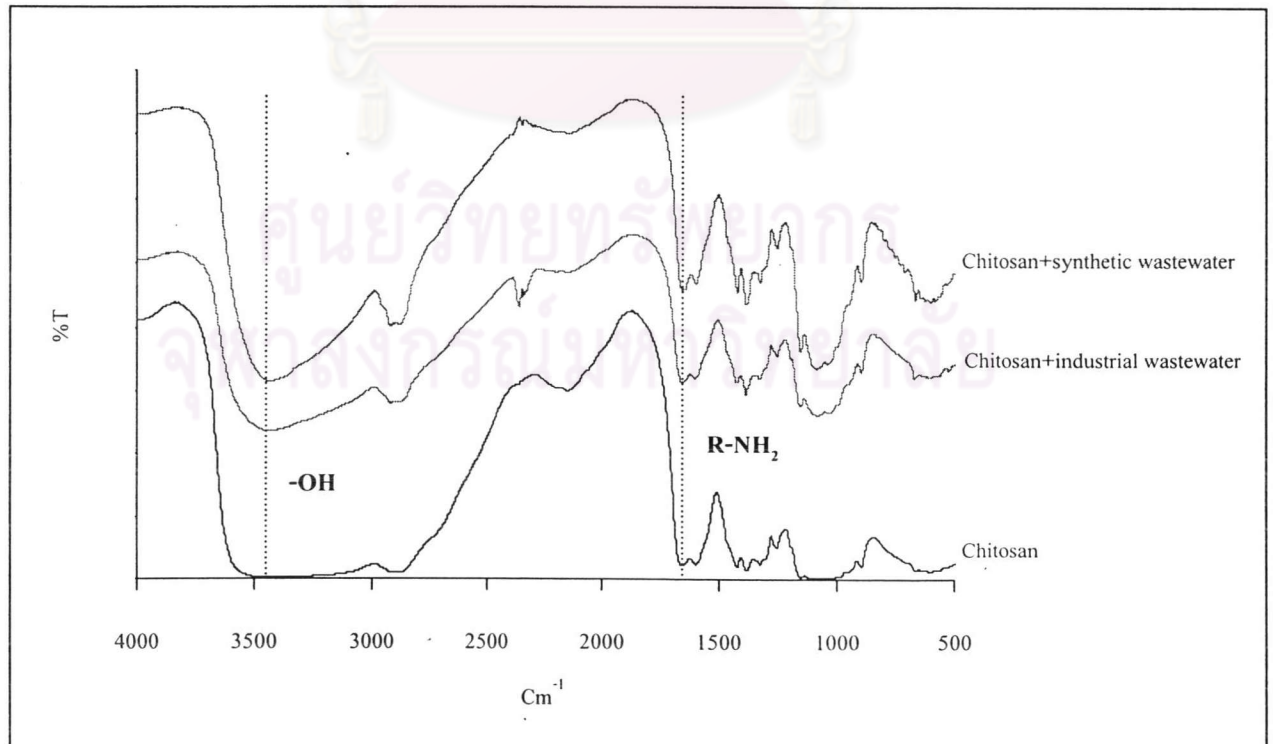


รูปที่ 4.12 ชาติูที่วิเคราะห์ได้จากเครื่อง EDX ในไคโตซาน (A) ตะกอนไคโตซานหลังตกตะกอนกับน้ำเสียอุตสาหกรรม (B) และน้ำเสียสังเคราะห์โลหะผสม (C)

จากรูปที่ 4.13 และตารางที่ 4.4 แสดงให้เห็นถึงหมู่ฟังก์ชันบนพื้นผิวของไคโตซานก่อนและหลังใช้บำบัดน้ำเสียอุตสาหกรรม และน้ำเสียสังเคราะห์โลหะผสม ซึ่งหมู่ฟังก์ชันของไคโตซานที่สามารถทำปฏิกิริยากับโลหะหนักได้คือ หมู่  $-NH_2$  และ  $-OH$  เมื่อเปรียบเทียบหมายเลขคลื่นของหมู่ฟังก์ชันแอมิโนบนไคโตซานก่อนบำบัด และหลังการบำบัดกับน้ำเสียอุตสาหกรรมและน้ำเสียสังเคราะห์โลหะผสม พบหมายเลขคลื่นที่ 1668.15, 1664.29 และ 1662.37  $cm^{-1}$  ตามลำดับ โดยเมื่อมีการเลื่อนของหมายเลขคลื่นมากกว่า 4  $cm^{-1}$  ซึ่งเป็นความสามารถในการแยกชัด (Resolution) ของเครื่องมือที่ใช้ในการวิจัยนี้ แสดงว่า มีการเกิดพันธะที่หมู่ฟังก์ชัน และจากรูปที่ 4.13 สังเกตได้ว่าไม่มีพีก (Peak) ใหม่เกิดขึ้น แสดงว่าหมู่แอมิโนของไคโตซานเกิดพันธะกับโลหะหนัก แต่ไม่สามารถระบุได้ชัดเจนว่า หมู่ฟังก์ชันไฮดรอกซิลบนไคโตซานเกิดการเปลี่ยนแปลงหลังการบำบัดด้วยหรือไม่ เพราะการเปลี่ยนแปลงของพีกหมู่ไฮดรอกซิล อาจเนื่องมาจากไฮดรอกซิลในโมเลกุลน้ำก็ได้

ตารางที่ 4.4 หมู่ฟังก์ชันของไคโตซานก่อนและหลังใช้บำบัดกับน้ำเสียอุตสาหกรรม

หมู่ฟังก์ชัน	Wave number ( $cm^{-1}$ )		
	chitosan	chitosan+industrial wastewater	Chitosan+synthetic wastewater
R-NH <sub>2</sub>	1668.1500	1664.2930	1662.3650



รูปที่ 4.13 หมู่ฟังก์ชันบนพื้นผิวของไคโตซานเมื่อวิเคราะห์ด้วยเครื่อง FTIR

#### 4.8 ผลการศึกษากลไกในการกำจัดโลหะหนัก

การพิจารณาไอโซเทิร์มของการดูดซับโครเมียม (เฮกซะเวเลนซ์) นิกเกิล และตะกั่วด้วยไคโตซาน ตามแบบจำลองสมการแลงเมียร์ (สมการ (2.2)) และสมการฟรุนดลิช (สมการ 2.4)) ได้ผลดังรูปที่ 4.14, 4.15 และ 4.16 ตามลำดับ โดยสมการแลงเมียร์เป็นกราฟความสัมพันธ์ระหว่างความเข้มข้นของโลหะหนักที่เหลืออยู่ในสารละลายในสภาวะสมดุล ( $C_e$ ) และอัตราส่วนระหว่างความเข้มข้นของโลหะหนักที่เหลืออยู่ในสารละลายในสภาวะสมดุลต่อปริมาณของโลหะหนักที่ถูกดูดซับต่อน้ำหนักของตัวดูดซับ ( $C_e/q_e$ ) สำหรับสมการฟรุนดลิชเป็นกราฟความสัมพันธ์แบบลอการิทึม (Logarithm) ระหว่างความเข้มข้นของโลหะที่เหลือในสารละลายในสภาวะสมดุล ( $C_e$ ) และปริมาณของโลหะที่ถูกดูดซับต่อน้ำหนักของตัวดูดซับ ( $q_e$ ) สามารถคำนวณปริมาณโลหะที่ถูกดูดซับได้สูงสุด ( $X_m$ ) และค่าคงที่ของการดูดซับ (b) ตามสมการแลงเมียร์ ค่าสัมประสิทธิ์ของการแพร่กระจาย (K) และค่า Correction factor (n) ตามสมการฟรุนดลิช ได้ดังตารางที่ 4.4 พบว่าสมการแลงเมียร์สามารถอธิบายการดูดซับโครเมียม (เฮกซะเวเลนซ์) นิกเกิล และตะกั่ว ( $R^2$  ของโครเมียม (เฮกซะเวเลนซ์) นิกเกิล และตะกั่ว เท่ากับ 0.9961, 0.9957 และ 0.9970 ตามลำดับ) ได้ดีกว่าสมการฟรุนดลิช ( $R^2$  ของโครเมียม (เฮกซะเวเลนซ์) นิกเกิล และตะกั่ว เท่ากับ 0.8636, 0.9187 และ 0.9372 ตามลำดับ)

$$C_e/q_e = (1/bX_m) + (C_e/X_m) \quad (2.2)$$

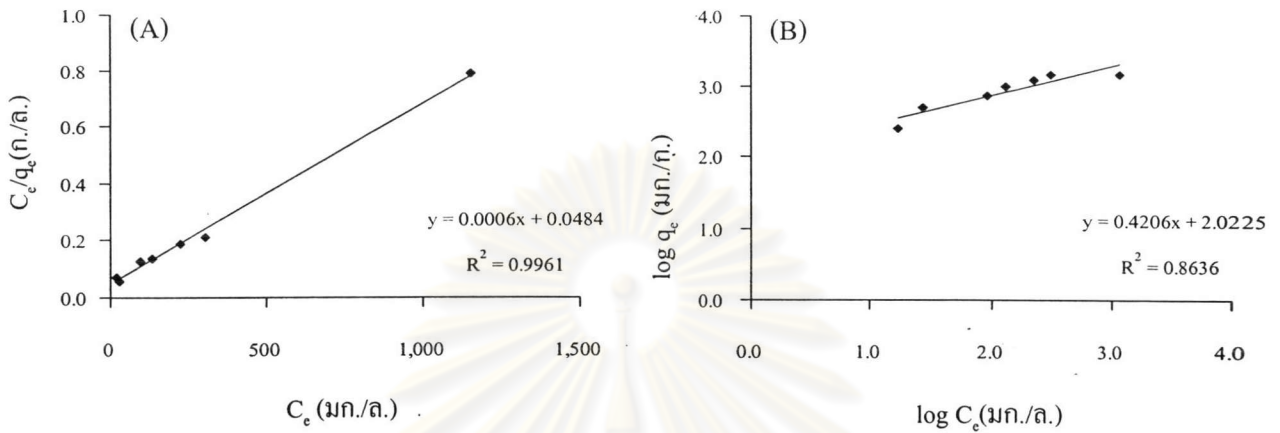
$$\log q_e = \log K + (1/n) \log C_e \quad (2.4)$$

เมื่อพิจารณาค่า  $X_m$  ในสมการแลงเมียร์ พบว่าไคโตซานสามารถดูดซับโครเมียม (เฮกซะเวเลนซ์) ได้มากกว่าตะกั่วและนิกเกิล ( $1.67 \times 10^3$ ,  $1.43 \times 10^3$  และ  $1.25 \times 10^3$  และมิลลิกรัม/กรัม ไคโตซาน ตามลำดับ) และค่า b ซึ่งสัมพันธ์กับค่าพลังงานพันธะ (Bonding energy) พบว่าการดูดซับตะกั่วด้วยไคโตซานมีค่าสูงกว่าการดูดซับโครเมียม (เฮกซะเวเลนซ์) และนิกเกิล (0.0182, 0.0124 และ 0.0085 ตามลำดับ) แสดงว่าเกิดการดูดซับตะกั่วบนไคโตซานด้วยแรงที่มากกว่าโครเมียม (เฮกซะเวเลนซ์) และนิกเกิล โดยงานวิจัยของ Aung N.N. (1997) พบว่าเกิดการดูดซับของตะกั่วบนไคโตซานด้วยแรงที่มากกว่าโครเมียมเช่นเดียวกับงานวิจัยนี้ แต่พบความสามารถไคโตซานในการดูดซับตะกั่วได้มากกว่าโครเมียม แสดงดังตารางที่ 4.5

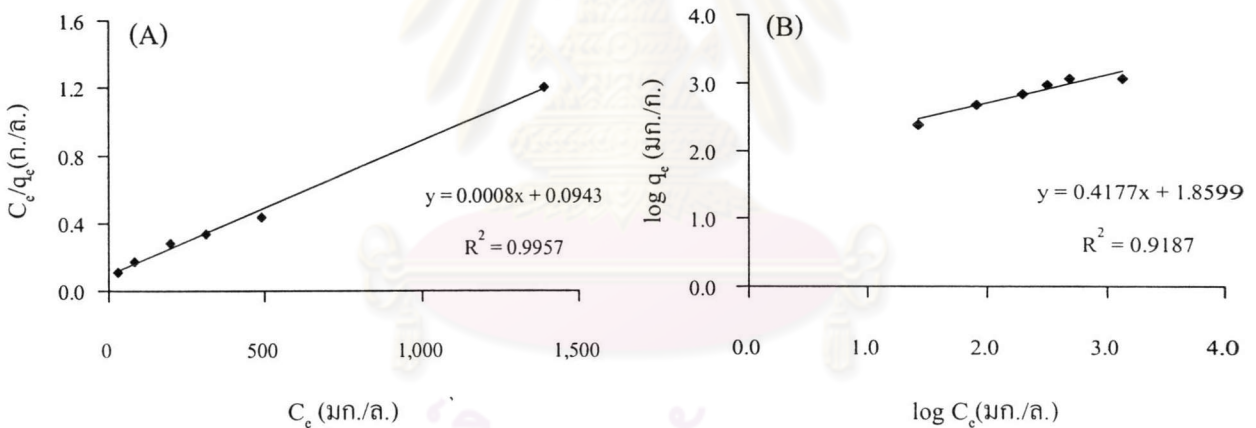
จากค่า K และ 1/n ในสมการฟรุนดลิช ทำให้ทราบว่าไคโตซานสามารถดูดซับโครเมียม (เฮกซะเวเลนซ์) ได้สูงกว่าตะกั่วและนิกเกิล โดยค่า K สำหรับการดูดซับโครเมียม นิกเกิล และตะกั่ว เท่ากับ 105.3174, 72.4269 และ 96.9393 มิลลิกรัม/กรัมไคโตซาน ตามลำดับ) ส่วนค่า



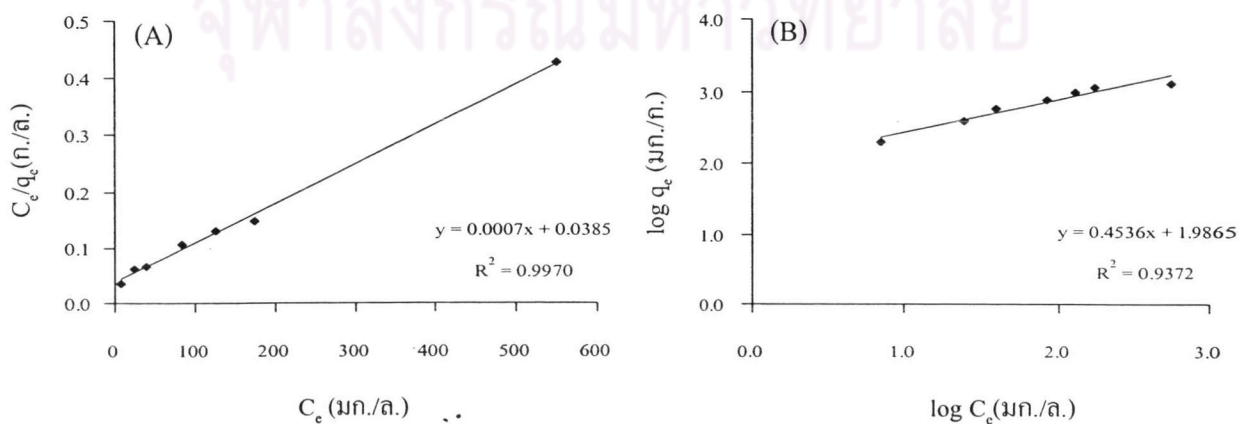
$1/n$  สำหรับการดูดซับโครเมียม (เฮกซะเวเลนซ์) นิกเกิล และตะกั่ว เท่ากับ 0.4206, 0.4177 และ 0.4536 ตามลำดับ ซึ่งมีค่าน้อยกว่า 1 ตามหัวข้อ 2.8.2 แสดงว่า อัตราการดูดซับเมื่อความเข้มข้นต่ำหรือสูงไม่แตกต่างกันนัก



รูปที่ 4.14 สมการ Langmuir (A) และ Freundlich (B) ในการดูดซับโครเมียม (เฮกซะเวเลนซ์) ด้วยไคโตซาน



รูปที่ 4.15 สมการ Langmuir (A) และ Freundlich (B) ในการดูดซับนิกเกิลด้วยไคโตซาน



รูปที่ 4.16 สมการ Langmuir (A) และ Freundlich (B) ในการดูดซับตะกั่วด้วยไคโตซาน

ตารางที่ 4.5 ค่าคงที่ที่คำนวณได้จากสมการของแลงเมียร์ (Langmuir adsorption isotherm) และ ฟรุนดลิช (Freundlich adsorption isotherm) ในการดูดซับโครเมียม (เฮกซะเวเลนซ์) นิกเกิล และตะกั่ว ด้วยไคโตซาน

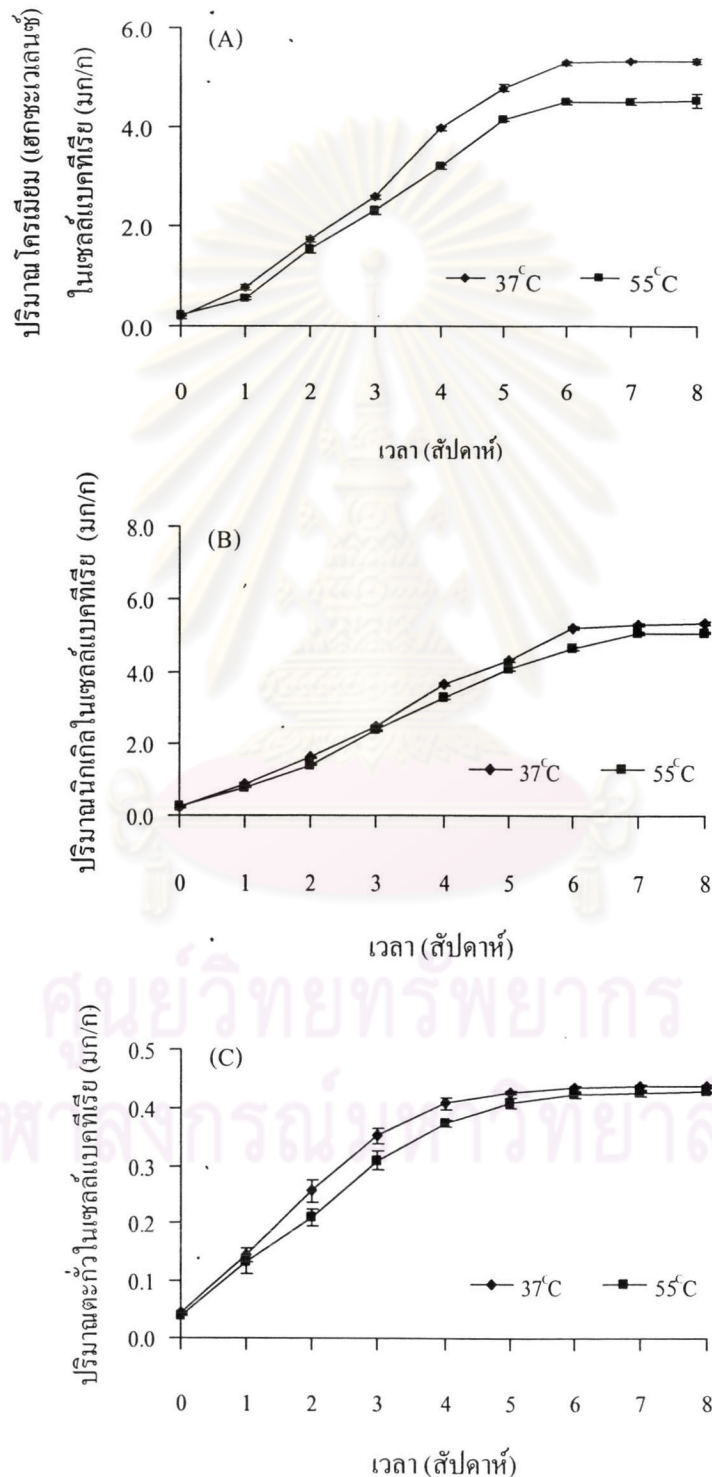
แหล่งที่มา	ค่าคงที่ของแลงเมียร์			ค่าคงที่ของฟรุนดลิช		
	b	$X_m$ (mg/g)	$R^2$	K (mg/g)	1/n	$R^2$
1. งานวิจัยนี้; Cr <sup>+6</sup>	0.0124	$1.67 \times 10^3$	0.9961	105.3174	0.4206	0.8636
Ni	0.0085	$1.25 \times 10^3$	0.9957	72.4269	0.4177	0.9187
Pb	0.0182	$1.43 \times 10^3$	0.9970	96.9393	0.4536	0.9372
2. Aung N.N. (1997); Cr	156.25	0.04	-	-	1.8188	-
Pb	185.19	26.80	-	-	0.7307	-
3. Udaybaskar et al. (1990); Cr	0.6204	34.9650	0.9995	18.1970	0.1981	0.9648
4. Schuml R. et al (2001); Cr	0.0037	0.29	-	-	-	-

#### 4.9 ผลการศึกษาอัตราการลดลงของโลหะหนัก การคัดเลือก และพิกัดของไอโซเทอมนิกเกิลและตะกั่วด้วยไคโตซาน

##### 4.9.1 ผลการศึกษาอัตราการลดลงของโลหะหนักในตะกอนไคโตซาน

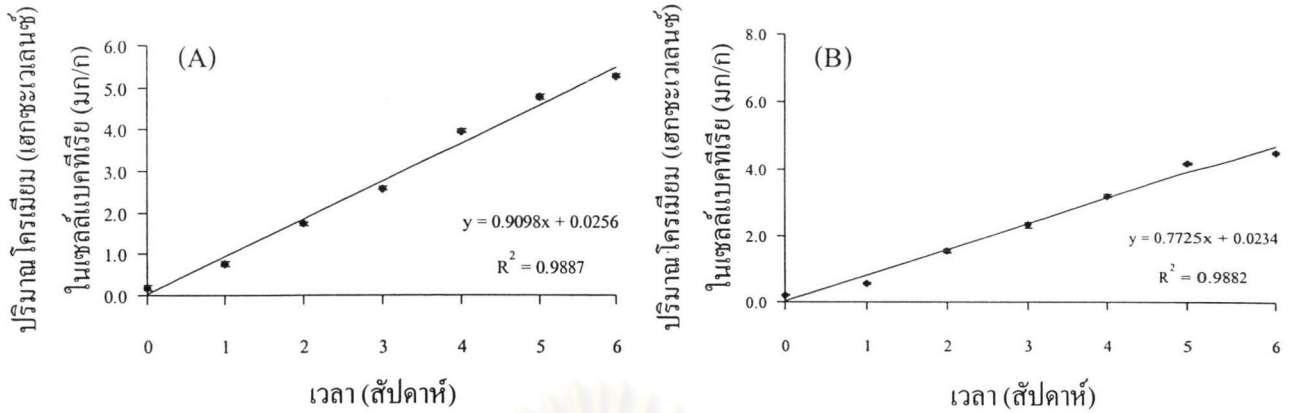
การลดลงของโครเมียม (เฮกซะเวเลนซ์) นิกเกิล และตะกั่วโดยแบคทีเรีย ณ เวลาในการบ่มต่างๆ กัน แสดงในรูปที่ 4.17 (A, B และ C) พบว่าการลดลงของโครเมียม (เฮกซะเวเลนซ์) นิกเกิลและตะกั่วมีค่าเพิ่มขึ้นตามเวลาในการบ่มและมีค่าคงที่หลังสัปดาห์ที่ 6 ความสัมพันธ์ของโลหะหนักในเซลล์แบคทีเรียที่อุณหภูมิ 37 และ 55 องศาเซลเซียส กับเวลาในการบ่ม มีความสัมพันธ์เป็นเส้นตรง ตั้งแต่สัปดาห์แรกถึงสัปดาห์ที่ 6 ความชันของเส้นตรงคือ อัตราการลดลงของโครเมียม (เฮกซะเวเลนซ์) นิกเกิล และตะกั่วต่อเวลา ดังรูปที่ 4.18 (A) และ (B), 4.19 (A) และ (B) และ 4.20 (A) และ (B) ตามลำดับ เมื่อบ่มตะกอนไคโตซานที่อุณหภูมิ 37 องศาเซลเซียส อัตราในการลดลงของโครเมียม

(เฮกซะเวเลนซ์) นิกเกิลและตะกั่ว พบมากกว่าที่อุณหภูมิ 55 องศาเซลเซียส โดยมีค่าเท่ากับ 0.91, 0.85 และ 0.09 มิลลิกรัม/กรัม ไคโตซาน-สัปดาห์ ตามลำดับ ส่วนที่อุณหภูมิ 55 องศาเซลเซียส อัตราการลดลงของโครเมียม (เฮกซะเวเลนซ์) นิกเกิลและตะกั่ว มีค่าเท่ากับ 0.77, 0.78 และ 0.08 มิลลิกรัม/กรัม ไคโตซาน-สัปดาห์ ตามลำดับ

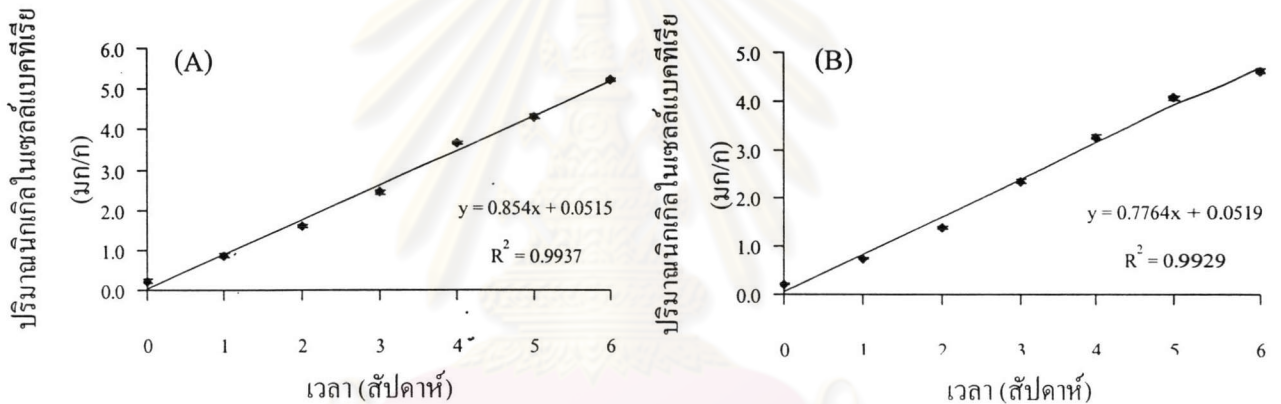


รูปที่ 4.17 ปริมาณ โครเมียม (เฮกซะเวเลนซ์) (A) นิกเกิล (B) และตะกั่ว (C) ในเซลล์เบคทีเรีย แต่ละสัปดาห์หลังการบ่ม เป็นเวลา 8 สัปดาห์

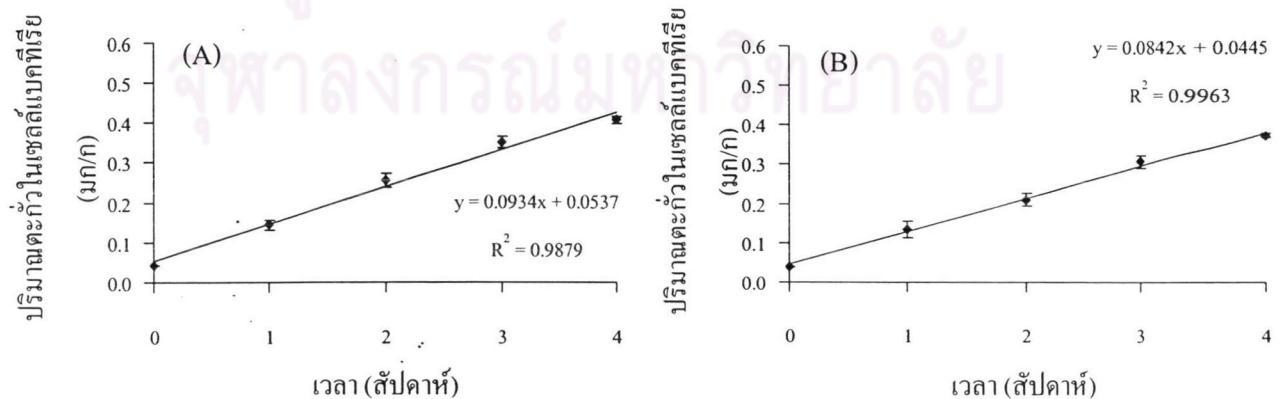




รูปที่ 4.18 ความสัมพันธ์เชิงเส้นของปริมาณโครเมียม (เฮกซะเวเลนซ์) ในเซลล์แบคทีเรียต่อเวลาที่ 37 องศาเซลเซียส (A) และ 55 องศาเซลเซียส (B)



รูปที่ 4.19 ความสัมพันธ์เชิงเส้นของปริมาณนิกเกิลในเซลล์แบคทีเรียต่อเวลาที่ 37 องศาเซลเซียส (A) และ 55 องศาเซลเซียส (B)



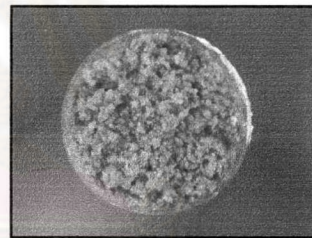
รูปที่ 4.20 ความสัมพันธ์เชิงเส้นของปริมาณตะกั่วในเซลล์แบคทีเรียต่อเวลาที่ 37 องศาเซลเซียส (A) และ 55 องศาเซลเซียส (B)

#### 4.9.2 ผลการพิสูจน์เอกลักษณ์แบคทีเรียที่มีอยู่ในตะกอนโคลโตซาน

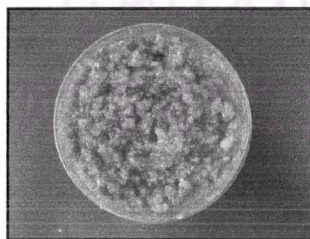
จากการทดลองพบว่าสามารถตรวจพบแบคทีเรียจากตะกอนที่บ่มไว้ที่อุณหภูมิ 37 องศาเซลเซียส และตรวจไม่พบแบคทีเรียจากตะกอน ณ อุณหภูมิการบ่มที่ 55 องศาเซลเซียส แต่พบว่าที่อุณหภูมิ 55 องศาเซลเซียส มีการเปลี่ยนแปลงของปริมาณโลหะหนักในตะกอนโคลโตซาน ซึ่งอาจเป็นไปได้ว่าแบคทีเรียที่ตรวจพบสามารถเจริญได้ดีที่อุณหภูมิ 37 องศาเซลเซียส และยังคงมีแบคทีเรียบางชนิดที่สามารถเจริญอยู่ได้ ณ อุณหภูมิ 55 องศาเซลเซียส และจากรูปที่ 4.21 และ 4.22 พบว่าตะกอนโคลโตซานเกิดการเปลี่ยนแปลงทางลักษณะทางกายภาพอย่างเห็นได้ชัดเจน โดยสังเกตได้ว่าตะกอนโคลโตซานเกิดการย่อยสลายเนื่องมาจากแบคทีเรียที่เกิดขึ้นในตะกอนโคลโตซานนั่นเอง แสดงว่า ณ อุณหภูมิการบ่ม 55 องศาเซลเซียส มีแบคทีเรียในตะกอนโคลโตซาน แต่เหตุที่ไม่สามารถตรวจพบแบคทีเรียในตะกอนโคลโตซาน ณ อุณหภูมิการบ่ม 55 องศาเซลเซียสได้นั้น อาจมาจากระยะเวลาการบ่มแบคทีเรียในการทดลองเพื่อตรวจนับจำนวนโคโลนีเพียง 24 ชั่วโมง เป็นระยะเวลาที่ใช้ในการเพาะเลี้ยงแบคทีเรียประเภทอนุกรมวิธานสูงเกินไป



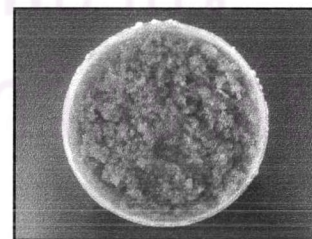
สัปดาห์ที่ 2



สัปดาห์ที่ 4

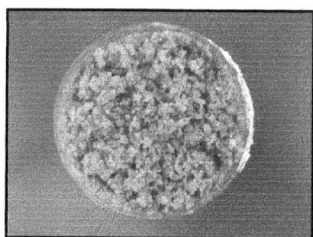


สัปดาห์ที่ 6

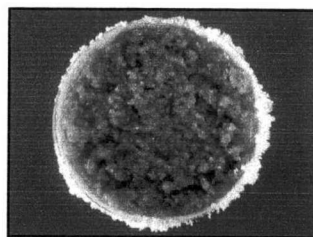


สัปดาห์ที่ 8

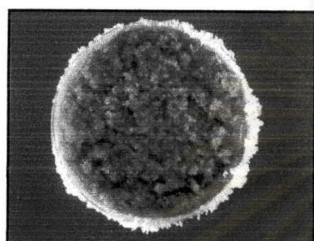
รูปที่ 4.21 ลักษณะตะกอนโคลโตซานที่อุณหภูมิการบ่ม 37 องศาเซลเซียส ณ ระยะเวลาต่างๆ



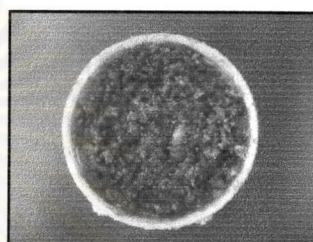
สัปดาห์ที่ 2



สัปดาห์ที่ 4



สัปดาห์ที่ 6

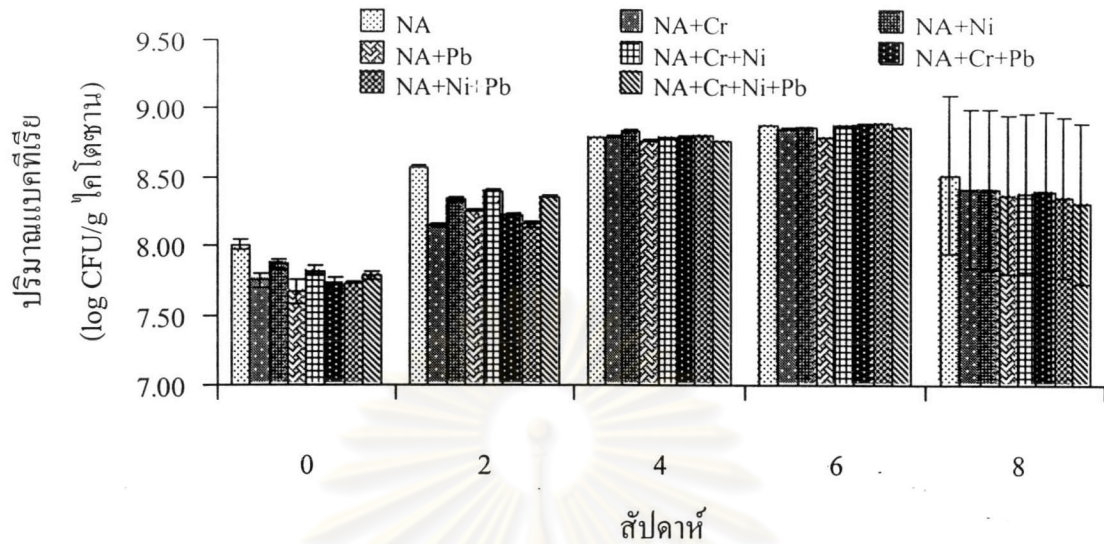


สัปดาห์ที่ 8

รูปที่ 4.22 ลักษณะตะกอนไคโตซานที่อุณหภูมิการบ่ม 55 องศาเซลเซียส ณ ระยะเวลาต่างๆ

รูปที่ 4.23 แสดงปริมาณโคโลนีแบคทีเรียที่อุณหภูมิ 37 องศาเซลเซียส โดยมีปริมาณแบคทีเรีย ณ เวลาเริ่มต้นประมาณ  $0.47 \times 10^8 - 1.02 \times 10^8$  CFU/g ไคโตซาน เพิ่มขึ้นสูงสุดในช่วงสัปดาห์ที่ 4-6 โดยสามารถวัดปริมาณแบคทีเรียได้ประมาณ  $5.79 \times 10^8 - 7.71 \times 10^8$  CFU/g ไคโตซาน และจากนั้นก็มีปริมาณลดลง สอดคล้องกับผลการทดลองในหัวข้อ 4.9.1 ที่พบว่าปริมาณโลหะหนักในตะกอนไคโตซานมีการเปลี่ยนรูปโดยเซลล์แบคทีเรียได้สูงสุดหลังสัปดาห์ที่ 6 แสดงว่าตะกอนไคโตซานหลังใช้ในการบำบัดน้ำเสียอุตสาหกรรมสามารถย่อยสลายได้โดยธรรมชาติ โดยพบทั้งแบคทีเรียแกรมบวก *Bacillus* spp. มีลักษณะเป็นโคโลนีสีขาวขุ่น ผิวด้านขอบเป็นหยักขนาดใหญ่ เมื่อทำการย้อมแกรมและส่องด้วยกล้องจุลทรรศน์เห็นว่าเซลล์ติดสีน้ำเงิน มีลักษณะเป็นรูปแท่ง มีสปอร์อยู่ตรงกลาง เซลล์เรียงต่อกันเป็นโซ่ และพบแบคทีเรียแกรมลบ มีลักษณะเป็นโคโลนีสีเหลืองขุ่น ผิวมันวาว และโคโลนีสีขาวขนาดเล็ก ใส และผิวมันวาว เมื่อทำการย้อมแกรมและส่องด้วยกล้องจุลทรรศน์ เห็นว่าเซลล์ติดสีแดง เป็นรูปแท่งกระจายตัว และจากการระบุสายพันธุ์เชื้อแบคทีเรียแกรมลบโดยสถาบันวิจัยวิทยาศาสตร์และเทคโนโลยีแห่งประเทศไทย (วว.) พบว่าแบคทีเรียดังกล่าวได้แก่ *Flavobacterium odoratum* และ *Stenotrophomonas maltophilia*





รูปที่ 4.23 ปริมาณแบคทีเรียในตะกอนโคโตซานหลังการบ่ม ณ เวลาต่างๆ

หมายเหตุ:

NA: อาหารเพาะเลี้ยงเชื้อแบบแข็ง

NA+Cr<sup>+6</sup>: อาหารเพาะเลี้ยงเชื้อแบบแข็งผสม โครเมียม (เฮกซะเวเลนซ์) 45.00 mg/l

NA+Ni: อาหารเพาะเลี้ยงเชื้อแบบแข็งผสมนิกเกิล 45.00 mg/l

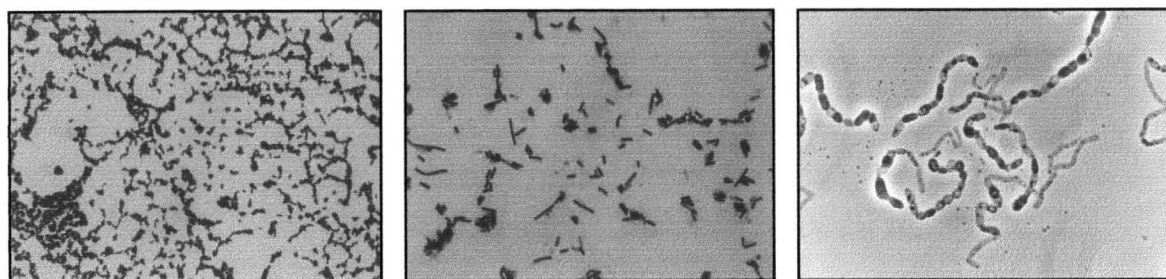
NA+Pb: อาหารเพาะเลี้ยงเชื้อแบบแข็งผสมตะกั่ว 2.00 mg/l

NA+Cr<sup>+6</sup>+Ni: อาหารเพาะเลี้ยงเชื้อแบบแข็งผสม โครเมียม (เฮกซะเวเลนซ์) 45.00 mg/l และนิกเกิล 45.00 mg/l

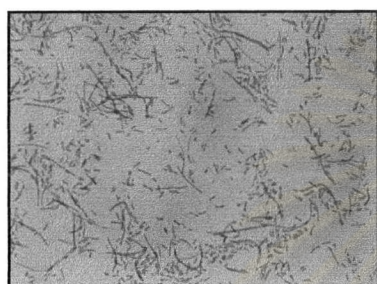
NA+Cr<sup>+6</sup>+Pb: อาหารเพาะเลี้ยงเชื้อแบบแข็งผสม โครเมียม (เฮกซะเวเลนซ์) 45.00 mg/l และตะกั่ว 2.00 mg/l

NA+Ni+Pb: อาหารเพาะเลี้ยงเชื้อแบบแข็งผสมนิกเกิล 45.00 mg/l และตะกั่ว 2.00 mg/l

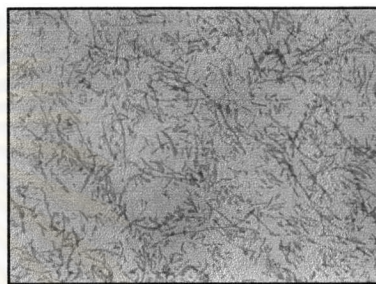
NA+Cr<sup>+6</sup>+Ni+Pb: อาหารเพาะเลี้ยงเชื้อแบบแข็งผสม โครเมียม (เฮกซะเวเลนซ์) 45.00 mg/l นิกเกิล 45.00 mg/l และตะกั่ว 2.00 mg/l



(A)



(B)



(C)

รูปที่ 4.24 แบคทีเรียที่พบในตะกอนไคโตซาน *Bacillus* spp. (A) *Flavobacterium odoratum* (B)  
และ *Stenotrophomonas maltophilia* (C)

ศูนย์วิทยทรัพยากร  
จุฬาลงกรณ์มหาวิทยาลัย